

Li-H-O

~~LiOH + H<sub>2</sub>O<sub>2</sub>~~

1960

Simon S, et al.

"Z. Anorg. Chem."

1950, 262, 192-211.

V.

$\delta$   
H<sub>2</sub>O<sub>2</sub>

B.92-5.303-5

Li-OH B9-4175-X 1969

Cotton D.H; et al.

(Do) Trans. Faraday Soc;  
1969, 65 No, 1537.

1941

(Li...OH<sub>2</sub>)<sup>+</sup>расчет  
иер. шир.

6 Б44. Исследования строения молекул методом МО ЛКАО. VII. Неэмпирические расчеты гидратации одноатомных катионов. Schuster P., Preuss H.-W. Ab initio calculations on the hydration of monatomic cations. (LCAO MO Studies on molecular structure. VII.). «Chem. Phys. Lett.», 1971, 11, № 1, 35—37 (англ.)

Методом МО ЛКАО ССП в гауссовом базисе рассчитаны системы  $(\text{Li} \dots \text{OH}_2)^+$  (I) и  $(\text{Be} \dots \text{OH}_2)^{2+}$  (II). Для I проведены 3 варианта расчета с базисными наборами: а) H 3s<sup>1</sup>, O 9s<sup>2</sup>10p<sup>1</sup> (или 30p<sup>3</sup>), Li 9s<sup>2</sup>2p<sup>1</sup> (или 6p<sup>3</sup>); б) H s<sup>3</sup>, O 9s<sup>4</sup>10p<sup>2</sup> (или 30p<sup>6</sup>), Li 9s<sup>4</sup>2p<sup>1</sup> (или 6p<sup>3</sup>); в) H 4s<sup>4</sup>, O 9s<sup>6</sup>10p<sup>4</sup> (или 30p<sup>12</sup>), Li 9s<sup>7</sup>2p<sup>1</sup> (или 6p<sup>3</sup>), для II — только вариант (в) с набором для Be 9s<sup>7</sup>2p<sup>1</sup> (или 6p<sup>3</sup>). Для Li<sup>+</sup> и Be<sup>2+</sup> эти наборы дают энергию вблизи предела ХФ, для H<sub>2</sub>O получены значения E: а) —75,8417, б) —75,9930, в) —16,0117 ат. ед. (наилучшее значение из лит-ры —76,0594, ат. ед.). Приведены вычисленные потенциальные кривые приближения молекулы H<sub>2</sub>O к Li<sup>+</sup> и Be<sup>2+</sup> (симметрия C<sub>2v</sub>): Последний катион связывается

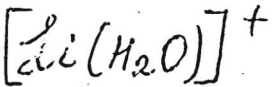
РМЖ,

1942, № 6

⊕ 11

с  $\text{H}_2\text{O}$  более прочно (энергия взаимодействия в 3 раза больше, расстояние меньше). Энергия более чувствительна к выбору базиса, чем расстояние. Варьирование угла при равновесном расстоянии привело к миним. значению энергии при угле между линией  $\text{M..O}$  и биссектрисой угла  $\text{HOH}$ , равному  $180^\circ$ , так что оптим. геометрия такая же, как при учете только ион-дипольного взаимодействия. Но кривая такого взаимодействия хорошо аппроксимирует точную потенциальную кривую для  $\text{Li}^+$  и плохо — для  $\text{Be}^{2+}$ , так что связь  $\text{Be—O}$  является частично ковалентной. Вычисленные энергии гидратации составляют для  $\text{I}$  в указанных трех вариантах 47,4; 46,6 и 43,6 ккал/моль (опыт 34,0), расстояние  $\text{Li—O}$  1,82 Å (1,92); для  $\text{Be}^{2+}$  141,4 ккал/моль и 1,56 Å. Авторы считают, что энергии гидратации можно передать и без учета корреляции электронов. Сообщ. VI см. РЖХим, 1971, 11Б65.

М. Дяткина



1972

52511b Ab initio, semiempirical, and classical calculations of simple hydrated ions. Breitschwerdt, K. G.; Kistenmacher, H. (Inst. Angew. Phys., Univ. Heidelberg, Heidelberg, Ger.). *Chem. Phys. Lett.* 1972, 14(2), 288-92 (Eng). For planar  $[\text{Li}(\text{H}_2\text{O})]^+$  in the dipole orientation ( $\varphi = 128^\circ$ ) and planar  $[\text{F}(\text{H}_2\text{O})]^-$  in the H-bond orientation ( $\varphi = 0^\circ$ ) at distances  $R \leq 4 \text{ \AA}$  between the ion and the O atom of the  $\text{H}_2\text{O}$  mol., the  $\text{H}_2\text{O}$ -ion binding energies ( $\Delta E$ ) that were calcd. by ab initio and classical (point charge model) methods agreed closely. The  $\Delta E$  vs.  $R$  curves that were obtained by the semiempirical complete-neglect-of-differential-overlap (CNDO/2) LCAO MO SCF method (Pople, J. A.; Segal, G. A.; 1966) were significantly different in shape, and the min. in  $\Delta E$  were lower than calcd. by the other 2 methods. For  $R > 5 \text{ \AA}$  where ion-dipole interaction dominates, the 3 methods gave comparable results. At the equil.  $R$  value (corresponding very closely to the min.  $\Delta E$  for

Kbalex

Macrel

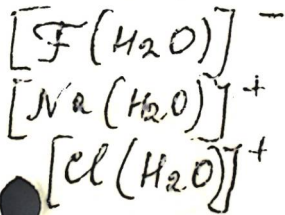
Cot. 1972. 14. 8

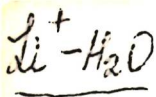


(+3)

(c u u a o d y.)

the most stable orientations), the angular dependences of  $\Delta E$  ( $\Delta E$  vs.  $\varphi$  curves) calcd. by the 3 methods had approx. the same shape. The  $\Delta E$  vs.  $R$  and  $\Delta E$  vs.  $\varphi$  results obtained by the CNDO/2 and classical methods were in reasonable agreement for planar  $[\text{Cl}(\text{H}_2\text{O})]^-$ , but not for planar  $[\text{Na}(\text{H}_2\text{O})]^+$ . CNDO/2 calcns. of  $\Delta E$  and the equil.  $R$  values for  $[\text{F}(\text{H}_2\text{O})_n]^-$  and  $[\text{Cl}(\text{H}_2\text{O})_n]^-$  with  $n = 4, 5, 6$ , and 8 showed that the H-bond orientations with  $n = 8$  for  $[\text{Cl}(\text{H}_2\text{O})_n]^-$  and  $n = 6$  for  $[\text{F}(\text{H}_2\text{O})_n]^-$  were the most stable.





1872

(79759a) Structure of molecular complexes. I. Energy surface of a water molecule in the field of a lithium positive ion. Clementi, Enrico; Popkie, Herbert (Res. Lab., IBM, San Jose, Calif.). *J. Chem. Phys.* 1972, 57(3), 1077-94 (Eng).  $\text{H}_2\text{O}$  mol. is considered by making use of the bond energy anal. formalism. Hartree-Fock data are reported for the  $\text{Li}^+ - \text{H}_2\text{O}$  energy surface keeping the  $\text{H}_2\text{O}$  geometry rigid. These data are analyzed in the same way as for the  $\text{H}_2\text{O}$  mol. In addn. the energy of rotation of the  $\text{H}_2\text{O}$  mol. for a fixed Li-O distance has been studied in detail. Anal. expressions aimed at reproducing the energy surface data in a very simple and condensed form are presented. Finally, the effect of complete optimization of the geometry and use of a large basis set for  $\text{Li}^+ - \text{H}_2\text{O}$  energy calcns. is discussed. The most stable configuration for the  $\text{Li}^+ - \text{H}_2\text{O}$  complex is planar and is predicted to have the following geometry: The Li-O and O-H bond lengths are 1.84 and 0.96 Å, resp., the Li-O-H and H-O-H angles are  $127.0^\circ$  and  $106.1^\circ$ , resp. The binding energy of the  $\text{H}_2\text{O}$  mol. to the  $\text{Li}^+$  ion is 1.53 eV in the Hartree-Fock approxn.

C.A. 1872. 44. 12

$\text{Li}^+ - \text{H}_2\text{O}$

1972

1 Д138. Исследование структуры молекулярных комплексов. I. Энергетическая поверхность молекулы воды в поле положительного иона лития. Clementi Ettico, Popkie Herbert. Study of the structure of molecular complexes. I. Energy surface of a water molecule in the field of a lithium positive ion. «J. Chem. Phys.», 1972, 57, № 3, 1077—1094 (англ.)

Для определения устойчивой конфигурации и энергии связи комплекса  $\text{Li}^+ - \text{H}_2\text{O}$  проведены расчеты Хартри—Фока с гауссовским базисом. Сначала подробно исследуются результаты расчетов, проведенных с различными базисами для изолированной молекулы воды в равновесной конфигурации, что дает возможность определить

Р. № 1073.1

оптимальный базис. В дальнейшем проведены расчеты системы  $\text{Li}^+ - \text{H}_2\text{O}$  для одиннадцати разных положений молекулы  $\text{H}_2\text{O}$  относительно оси  $\text{O}-\text{Li}^+$ . При этом для каждого положения расчеты проводились для разных расстояний  $\text{O}-\text{Li}^+$ . (Геометрия  $\text{H}_2\text{O}$  считалась жесткой). На основе этих данных получено аналитич. выражение для энергии  $\text{Li}^+ - \text{H}_2\text{O}$ . После этого проводится оптимизация расстояния  $\text{O}-\text{H}$  и угла  $\text{H}-\text{O}-\text{H}$  в молекуле воды, а также исследуется, как влияет на результаты расширение базиса. Из окончательных расчетов следует, что наиболее устойчивой конфигурацией  $\text{Li}^+ - \text{H}_2\text{O}$  является плоскостная при расстояниях  $\text{Li}-\text{O}$  и  $\text{O}-\text{H}$  1,84 и 0,96 Å и углах  $\text{Li}-\text{O}-\text{H}$  и  $\text{H}-\text{O}-\text{H}$   $127,0^\circ$  и  $106,1^\circ$  соответственно.

Р. Дагис

$\text{Li} \cdot 2\text{H}_2\text{O}$

1972

Kraemer W.P., Diercksen G.H.F.

$\Delta H_f$

$\gamma_e$

Theor. Chim. Acta 1972, 27,  
265-72.

•  $\text{Cu}(\text{F} \cdot 2\text{H}_2\text{O})^-$   
III

$\text{Li}^+ \cdot 2\text{H}_2\text{O}$  (E, reac. empfohlen) B9-X 6945 1972

Kraemer W. P.; Dierksen G. H. F.,

Theor. chim. acta, 1972, 23, 111,  
333-334 (anm.)

SCF MO LCGO studies on the  
hydration of ions: the system  
 $\text{Li}^+ \cdot 2\text{H}_2\text{O}$ .

b

Pk Linn, 13521

10

NOTE

$\text{Si}_2\text{O}_2$ ;  $\text{SiO}_2\text{H}$  (reou. empyren; pacrem) 1972

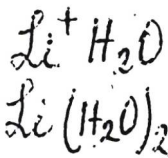
Pestlak J. Jr., X 7099

J. Mol. Struct., 1972, 12, N<sub>2</sub>, 235-  
-239 (anul.)

An ab initio molecular orbital  
study of  $\text{Si}_2\text{O}_2$  and  $\text{SiO}_2\text{H}$ .

Fig. XIII, 1972, 19530

1973



10 Б11. Расчеты гидратации ионов. Baugе Kjell Stogård Ås . Calculations on the hydration of ions «Acta chem. scand.», 1973, 27, № 7, 2683—2685 (англ.)

Неэмпирическим методом ССП МО ЛКАО исследовано электронное строение гидратов  $\text{Li}^+\text{H}_2\text{O}$  (I) и  $\text{Li}^+(\text{H}_2\text{O})_2$  (II). Расчеты выполнены в базисе сгруппированных гауссовских функций, в случае I рассматривалось последовательное расширение базиса за счет включения поляризаций функций  $p$ -типа на  $\text{Li}^+$ , а также  $p$ - и  $d$ -типа на  $\text{H}$  и  $\text{O}$  соотв. Кроме этого, методом ССП МО ЛКАО в валентном приближении ППДП/2 рассчитаны I, II, тетра- и гексагидраты  $\text{Li}^+$ , моно-, ди-, тетра- и гексагидраты  $\text{F}^-$ ,  $\text{Cl}^-$  и  $\text{Na}^+$ . Для молекул  $\text{H}_2\text{O}$  во всех случаях принята фиксированная геометрия с длиной связи 1,0 Å и валентным углом 104,5°. Варни-

Энерг.  
Библии.

X.1974N10

ровались расстояния ион-кислород ( $R$ ) при требовании сохранения линейной, тетраэдрич. и октаэдрич. соотв. симметрии комплексов. Приведены полные энергии, энергии гидратации (ЭГ), равновесные  $R$  и потенциальные кривые. На примере I обнаружена сильная чувствительность ЭГ к выбору базиса (45,5; 32,7; 38,9, для разных базисов, опыт 34, ППДП/2 45 ккал/моль). Для II неэмпирич. и ППДП/2 расчеты приводят к близким и завышенным примерно в полтора раза ЭГ. Выбор

базиса мало влияет на равновесные  $R$  (варiations не- сколько сотых Å), к-рые близки к имеющимся опытным данным, тогда как ППДП/2 приводит к значениям, за- вышеннym примерно на 30%.

В. Л. Лебедев

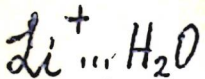
$\text{Li}^+(\text{H}_2\text{O})$

1973.

31.春秋.

Kistenmacher H, et.al.  
"J. Chem. Phys."  
1973, 58, N4, 1689-1699.

(act.  $\text{Na}^+(\text{H}_2\text{O}); \underline{\text{III}}$ )



(каспи.)

\*у-3825

1973

13 Б36. Исследование строения комплексов молекул.  
V. Теплоты образования комплексов ионов  $\text{Li}^+$ ,  $\text{Na}^+$ ,  
 $\text{K}^+$ ,  $\text{F}^-$  и  $\text{Cl}^-$  с одной молекулой воды. Kistenmacher H., Popkie H., Clementi E. Study of the structure of molecular complexes. V. Heat of formation for the  $\text{Li}^+$ ,  $\text{Na}^+$ ,  $\text{K}^+$ ,  $\text{F}^-$ , and  $\text{Cl}^-$  ion complexes with a single water molecule. «J. Chem. Phys.», 1973, 59, № 11, 5842—5848 (англ.)

На основе рассчитанных ранее (см. Сообщ. IV, РЖХим, 1974, 1Б94) неэмпирич. методом ССП МО ЛКАО с использованием больших базисов сгруппированных гауссовых функций потенциальных поверхностей рассчитаны частоты нормальных колебаний комплексов  $\text{X} \cdots \text{H}_2\text{O}$ ,  $\text{X} = \text{Li}^+$  (I),  $\text{Na}^+$  (II),  $\text{K}^+$  (III),  $\text{F}^-$  (IV) и  $\text{Cl}^-$  (V) и на их основе — поправки на нулевую энергию к теплотам образования этих комплексов, а также по-

LiHF

2. 1974 № 13



правки, обусловленные корреляц. вкладами. Обнаружено, что основной вклад в теплоту образования вносит хартри-фоковская энергия связи; поправки на нулевую энергию составляют 1—2 ккал/моль, а корреляц. поправки — менее 1 ккал/моль. Проведенные в расширенных сравнительно с пред. работами базисах (дополнительно включались поляризац. функции для всех атомов) расчеты привели к теплотам образования (в скобках — опытные данные): 34,13 (34,0), 23,32 (24,0), 16,20 (17,9), 22,18 (23,3), 11,36 (13,1) ккал/моль для I—V соотв. Равновесные расстояния X—O и (в скобках) валентные углы XOH: 3,58 ат. ед. ( $180^\circ$ ), 4,25 (180), 5,08 (180), 4,75 (47,9), 6,25 (37,8) соотв. Также приведены эмпирич. аналитич. выражения для потенциальных поверхностей.

В. Л. Лебедев

$\text{H}_2\text{O}$ ,  $\text{H}_3\text{O}^+$ ,  $\text{OH}^-$ ,  $\text{LiOH}$ ,  $(\text{LiOH}_2)$  1974.  
(к.б. нех. расчет). X 9134

Барысевский В. Н., Третьяк В. Н.,  
Пасюк А. Н., Братцев В. Ф.,

Ж. структурн. химии, 1974,  
15 (6), 971-6.

Независимый расчет экспериментальных  
структурных данных ...

C. A. 1975, 82 n20, 129469g. 10

6  
⊕

41014.8707  
Ch, Ph, TC

40892

02

1974

$\text{Li}^+ (\text{H}_2\text{O})$

2615

Kistenmacher H., Popkie H., Clementi E.  
Study of the structure of molecular complexes. VIII. Small clusters of water molecules surrounding  $\text{Li}^+$ ,  $\text{Na}^+$ ,  $\text{K}^+$ ,  $\text{F}^-$ , and  $\text{Cl}^-$  ions.

"J. Chem. Phys.", 1974, 61, N 3, 799-815

(англ.) 0211 ник

181 181 - 203

ВИНИТИ

$\text{Li}(\text{H}_2\text{O})^+$  (conjugate base)

1974

Schuster P.

δζορ

Struct Water Aqueous  
Solutions Proc Int Symp  
1973 (1974) 141-67 (eng)

( $\text{cull}(\text{H}_2\text{O})_2$ ; II)

$(\text{LiOH})_2$  Omrit Jint . 1975

Crystallized  
recrystallized  
no. ref.  
Nucleated  
clarified

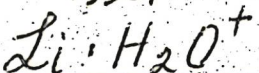
Pyr. Melter

Record E.A.

50403.9009

Ch, TC, DB, MGU

49587



1975

3147

Diercksen Geerd H.F., Kraemer Wolfgang  
P., Roos Björn O. SCF-CI studies of cor-  
relation effects on hydrogen bonding and  
ion hydration. The systems:  $\text{H}_2\text{O}$ ,  $\text{H}^+$  .

$\text{H}_2\text{O}$ ,  $\text{Li}^+ \cdot \text{H}_2\text{O}$ ,  $\text{F}^- \cdot \text{H}_2\text{O}$ , and  $\text{H}_2\text{O} \cdot \text{H}_2\text{O}$ .

"Theor. chim. acta", 1985, 73(6), N. 4, 249-  
274 (англ.)

304 305

0329

ВИНИТИ

$\text{Li}^+ \cdot \text{H}_2\text{O}$

$\text{F}^- \cdot \text{H}_2\text{O}$

$\text{H}_2\text{O} \cdot \text{HOH}$

End. notes.

Calcd. availab.

C.A. 1975

83 N6

48451p SCF-CI [configuration interaction] studies of correlation effects on hydrogen bonding and ion hydration. Systems, water, hydrogen ion-water, lithium ion-water, fluoride ion-water, an water-water. Diercksen, Geerd H. F.; Kraemer, Wolfgang P.; Roos, Bjorn O. (Max-Planck-Inst. Phys. Astrophys., Munich, Ger.). *Theor. Chim. Acta* 1975, 36(4), 249-74 (Eng). Previous single-determinant Hartree-Fock studies on the equil. structures and stabilities of  $\text{H}_2\text{O}$ ,  $\text{H}_3\text{O}^+$  as well as of the monohydrated ionic systems  $\text{Li}^+ \cdot \text{H}_2\text{O}$ ,  $\text{F}^- \cdot \text{H}_2\text{O}$  and the hydrogen bonded water dimer,  $\text{H}_2\text{O} \cdot \text{HOH}$ , are extended by large scale configuration interaction calcens. including all the possible single and double excitations arising from the canonical set of Hartree-Fock MO. The correlation energy effects on the equil. geometrical parameters of the systems under consideration are found to be quite small. The contributions of the correlation energy to the total binding energies of the weakly interacting composed systems are obtained to be of the order of 1 kcal/mole, leading to a considerable increase of the hydrogen bond strength in  $\text{F}^- \cdot \text{H}_2\text{O}$  and  $\text{H}_2\text{O} \cdot \text{HOH}$  and to a small decrease of the binding energy in  $\text{Li}^+ \cdot \text{H}_2\text{O}$ . The obsd. strengthening of the hydrogen bonding interaction due to correlation is shown to be partly compensated by the change in the vibrational zero-point energy of the composed systems compared to the non-interacting subsystems. Approx. force consts. corresponding to the intersystem vibrations in  $\text{Li}^+ \cdot \text{H}_2\text{O}$ ,  $\text{F}^- \cdot \text{H}_2\text{O}$ , and  $\text{H}_2\text{O} \cdot \text{HOH}$  are deduced from the calcd. potential curve data on the SCF and the CI level of accuracy.

1975  
C.A. 3147



(+2)

~~LiOH·H<sub>2</sub>O~~

1975

UR

139190u Hydrogen bonding. VI. Structural and infrared spectral analysis of lithium hydroxide monohydrate and cesium and rubidium hydroxide hydrates. Gennick, Irene; Harmon, Kenneth M. (Dep. Chem., Oakland Univ., Rochester, Mich.). *Inorg. Chem.*, 1975, 14(9), 2214-19 (Eng). The ir spectrum of LiOH·H<sub>2</sub>O shows, in addn. to the stretching and bending modes of OH and H<sub>2</sub>O groups, 7 bands in the 1000-300-cm<sup>-1</sup> region. Four of these bands give characteristic shifts upon D substitution and confirm the presence of coordinated water and hydroxide ion in LiOH·H<sub>2</sub>O. On the basis of internal coordinate anal. of the coordinated water and hydroxide subunits of the crystal structure it is possible to assign the various rocking and torsional vibrations. of O-H atoms and the Li-O lattice vibrations. Unlike other alkali metal hydroxide hydrates, the water and hydroxide ions in LiOH·H<sub>2</sub>O form discrete, planar, H-bonded [(OH)<sub>2</sub>(H<sub>2</sub>O)<sub>2</sub>] anionic units rather than extended chains. RbOH and CsOH also form stable mono- and hemihydrates, the ir spectra of which contain the rocking and wagging modes of strongly H-bonded, coordinated water.

C.A. 1975 83 N 16

512.03.8859  
Ch, TC, MGU

40892

1975

$\text{Li}^+ - \text{H}_2\text{O}$  (new)

3492

Kress James W., Clementi E., Kozak John ■  
J., Schwartz Maurice E.

Study of the structure of molecular complexes. IX. The Hartree-Fock energy surface for the  $\text{H}_2\text{O}-\text{Li}-\text{F}$  complex.

"J. Chem. Phys.", 1975, 63, N 9, 3907-3928

(англ.) 0500 руб

480 486

ВИНИТИ

$(\text{Li OH})_2$  Капич Е.А. 1975

Si  
спектр в  
матрицах

Бюлл. ИУНХ за  
1971-1975 г.

„Спектроскопическое исследование  
атомов и молекул методом  
матричной изотермы.”

$\text{Li}^+ \dots \text{OH}_2$

БТИ: СК 3896

1975

$\text{Li}^+ \dots \text{OCH}_3$

Кв. мех.  
расчет

(+1)

18

1976

N/3

13 Б92. Взаимодействие катионов щелочных металлов с кислородсодержащими лигандами. Schuster Peter, Magius Wolfgang, Pullman Alberte, Berthod Hélène. The interaction of alkali metal cations with oxygen-containing ligands. «Theor. chim. acta», 1975, 40, № 4, 323—341 (англ.)

Неэмпирическим методом ЛКАО МО ССП в гауссовом базисе проведены расчеты комплексов  $\text{Li}^+ \dots \text{OH}_2$  (I) и  $\text{Li}^+ \dots \text{OCH}_3$  (II). Использованы два базиса: 1) ( $\text{Li}^+/1s\ 1p/1s\ O/9s\ 5p/H/4s$ ) сгруппированный в  $[3s\ 1p/5s\ 3p/3s]$  и 2) отличался от 1 учетом  $d$ -орбиталей у атомов С и О. Геометрия молекул  $\text{H}_2\text{O}$  и  $\text{H}_2\text{CO}$  в комплексах сохранялась неизменной. Катион  $\text{Li}^+$  был расположен на оси симметрии  $C_{2v}$  молекулы лиганда. Вычисленные в 1-м базисе значения равновесных расстояний ( $R_0$ ), в комплексах I и II равны 1,83 и 1,78 Å. Соответствующие энергии образования также близки между собой:  $\Delta E_I(R_0) = -43,5$  ккал/моль,  $\Delta E_{II}(R_0) = -44$  ккал/моль. Отдельные компоненты  $\Delta E$  заметно отличаются у I и II. Электростатич. вклад в  $\Delta E$  боль-

ше для I, однако, энергия делокализации для II почти в 2 раза превышает соотв.-щее значение для I. Базис 2 приводит к понижению энергии связи у обоих комплексов при незначит. увеличении  $R_0$ . Этот эффект обусловлен уменьшением кулоновской составляющей  $\Delta E_k$ . Др. существенной компонентой  $\Delta E$  является энергия поляризации  $\Delta E_p$ . Величины компонент  $\Delta E_k$  и  $\Delta E_p$  (при  $R=R_0$ ) сопоставлены с соотв.-щими значениями, вычисленными по ф-лам классич. электростатики с использованием эксперим. мультипольных моментов. Ошибка в  $\Delta E_k$  составляет 15 и 7,5 ккал/моль для I и II в случае 1-го базиса и почти в 2 раза меньше в случае 2-го базиса. Анализ волновых ф-ций показал, что эффект переноса заряда в I и II не существуетен. Взаимная поляризация иона и лиганда приводит к сложной картине перераспределения электронной плотности, к-рая интерпретирована в терминах поляризации отдельных локализованных МО. Дисперсионная энергия также играет незначит. роль при образовании I и II. Э. Герман

$\text{Li}^+ \cdot \text{H}_2\text{O}$

$\text{Li}^+ \cdot \text{H}_2\text{CO}$

написан,  
сканирован  
допечатан  
сторуда

СИПИ 3896

1975

6 Д172. Взаимодействие катионов щелочных металлов с кислородсодержащими лигандами. Schuster Peter, Marius Wolfgang, Pullman Alberte, Berthod Hélène. The interaction of alkali metal cations with oxygen-containing ligands. «Theor. chim. acta», 1975, 40, № 4, 323—341 (англ.)

Неэмпирическим методом ССП МО ЛКАО исследовано электронное строение комплексов  $\text{Li}^+$  с  $\text{H}_2\text{O}$  (I) и  $\text{H}_2\text{CO}$  (II). Использован базис гауссовских ф-ций  $\text{Li}(7s1p)\text{C}$ ,  $\text{O}(9s5p)\text{H}(4s)$ , сгруппированный в  $(3s1p, 5s3p, 3s)$ , а также базис, дополнительно включавший по одной поляризационной ф-ции  $d$ -типа для атомов С и О. Варьировалось только расстояние O—Li( $R$ ). Проведен анализ полной энергии по схеме разбиения на компоненты, характеризующие взаимодействие металла



Ф 1976 № 6

с лигандом: кулоновскую, обменную, делокализационную и др. Приведены потенциальные кривые геометрические характеристики, распределения и карты электронной плотности. Показано, что перенос заряда II в особенности в I незначителен. Комплексообразование обусловлено поляризационными и электростатическими силами. Значительный вклад также вносят обменные взаимодействия, тогда как дисперсионные взаимодействия, по-видимому, не очень велики. Равновесные  $R$  найдены равными 1,83 и 1,78 Å для I и II соответственно; энергии комплексообразования 43,5 и 44,0 ккал/моль. В. Л. Лебедев



1975

KB. uex.  
faerem.

In 1975, interactions of ions. Ab initio SCF-MO-LCAO calculations of lithium ion-water-hydroxide ion with a minimal Gaussian basis set. Urban, M.; Pavlik, S.; Kello, V.; Mardiakova, J. (Dep. Phys. Chem., Comenius Univ., Bratislava, Czech.). *Collect. Czech. Chem. Commun.* 1975, 40(3), 587-96 (Eng.). The H bond was investigated in the  $\text{Li}^+ - \text{H}_2\text{O} - \text{OH}^-$  system, where the planar optimum structure of the complex was found for the O...O distance of 2.35 Å. The H bond energy is -45.1 kcal/mol 11.5 kcal/mol higher than the H bond energy of  $\text{H}_2\text{O} - \text{OH}^-$  given by the same basis set. The population analysis suggests extremely high electron transfer (0.103 electron) from OH<sup>-</sup> to  $\text{Li}^+ - \text{H}_2\text{O}$ . The potential curves for the proton motion in the H bond possess a double well min. at O...O distances greater than 2.5 Å. E. Erdos

C.A. 1975.

83. N4

70420.54

Me1, Ch, TC

29148

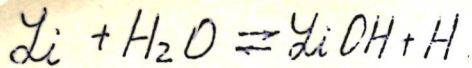
1978

$\text{Li}^+/\text{H}_2\text{O}$  n no. 91-91  
kl. 100 \* 5-18250

k p. N 70420.50

· Abraham Farid F., Mruzik Michael  
 R., Pound G. Marshall. Thermodynamics  
 and structure of hydrated halide and al-  
 kali ions. "Faraday Discuss. Chem. Soc.",  
 1976, N 61, 34-47. Discuss., 63-76  
 (англ.)

817 826 848 0857 ник ВИНИТИ



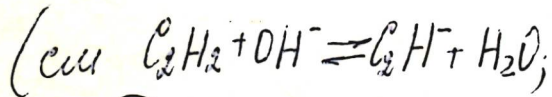
1976

Carsky Petz.

Kp. m.g. cb.

Chem Phys. Lett' 1976, 41,

N1, 165 - 167 (a.c.w.)



$\text{Li}^+ \cdots \text{H}_2\text{O}$

$\text{Li}^+ \cdots \text{NH}_3$

раб. № 21  
рассмотрен  
природу  
связи.

1976 № 21

\* 43-13547

1976

21 Б71. Природа связи  $\text{Li}^+$  с  $\text{H}_2\text{O}$  и  $\text{NH}_3$ ; неэмпирическое исследование. Woodin Richard L., Houle Frances A., Goddard William A., III. The nature of the bonding of  $\text{Li}^+$  to  $\text{H}_2\text{O}$  and  $\text{NH}_3$ ; ab initio studies. «Chem. Phys.», 1976, 14, № 3, 461—468 (англ.)

С использованием неэмпирич. метода ССП МО ЛКАО и обобщенного метода валентных схем (OBC) исследована природа связи  $\text{Li}^+$  с  $\text{H}_2\text{O}$  и  $\text{NH}_3$ . Расчеты методом МО проводились в минимальном базисе ОСТ-4ГФ, а также в расширенном сгруппированием двухэкспонентном базисе для O, N и H (ОСТ-ДЭ), дополненном поляризац.  $d$ -функциями для N и O (ОСТ-ДЭ $d$ ). Для  $\text{Li}^+$  при этом использовался базис (см. J. Chem. Phys., 1974, 61, 3530). Расчеты методом OBC проводились в трех вариантах: 1) OBC (1) — с включением только одной валентно связанный пары в каждой  $\text{Li}^+-\text{O}$  или  $\text{Li}^+-\text{N}$  связи и соответствующей неподеленной пары в свободном основании; 2) OBC (4) — с учетом корре-

т

(1)

ляции для всех четырех пар валентных электронов связей в  $\text{Li}^+\text{NH}_3$ , с учетом условий взаимной ортогональности орбиталей разных пар и синглетной связи электронов внутри каждой пары; 3) ОВС-КВ — с учетом конфигурац. взаимодействия двукратно возбужденных конфигураций внутри каждой пары. Для  $\text{H}_2\text{O}$  и  $\text{NH}_3$  использовались экспериментальные углы и длины связей, комплекс  $\text{Li}^+\text{H}_2\text{O}$  рассчитывался с равновесными геометрич. параметрами, полученными ранее в литературе (J. Chem. Phys., 1972, 57, 1077), а для  $\text{Li}^+\text{NH}_3$  геометрия оптимизировалась расчетом МО в базисе OCT-4ГФ. Из результатов расчетов следует, что методы OCT-4ГФ и OCT-ДЭ заметно завышают сродство оснований к  $\text{Li}^+$  (45—75 ккал/моль при экспериментальном значении 40,8 ккал/моль для  $\text{Li}^+\text{NH}_3$ ). Результаты OCT-ДЭ $d$  и ОВС-расчетов близки, что свидетельствует о несущественной роли корреляц. эффектов в связывании  $\text{Li}^+$  с основанием, и в пределах ошибки соответствуют экспериментальным величинам. Анализ энергетич. компонент сродства  $\text{Li}^+$  к  $\text{H}_2\text{O}$  или  $\text{NH}_3$  показывает, что связь  $\text{Li}^+$  — основание носит преимущественно электростатич. характер.

И. Абронин

$\text{Li}(\text{H}_2\text{O})$       communc 5962 ~ 1976

$\text{Li}(\text{H}_2\text{O})_2$       Hauge R.H.

Margrave J.L.

(preprint)

cheap  
ЭПР      Low temperature matrix  
i.r. and EPR spectroscopic studies of reactions  
intermediates in reactions of  
alkali metal atoms with  $\text{H}_2\text{O}$ ,  $\text{D}_2\text{O}$ .



1976

(KBr. Comp.)  
(vacuum)

Sadlej J.

Adv. Mol. Relax. Processes,  
1976, 8, N2, 117-23.
$$(\text{CuH}^+(\text{H}_2\text{O})_n) \underline{\underline{\underline{m}}}$$

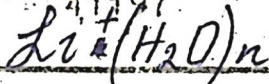
60510.1223

Ch, TC

кб. докт. разес

1976

4.11.97



\*13-12810

Spears Kenneth G., Kim Sang Hyung.

Hydration structures for alkali (+) ions.

"J. Phys. Chem.", 1976, 80, N7, 673-679 (англ.)

0615 ГМК

60712.1816

TC, Ch, Ph

 $\text{Li}^+ - \text{H}_2\text{O}$ 

96200

1976

(24.06.76)

44-13547

Woodin Richard L., Houle Frances A.,  
 Goddard William A.<sup>III</sup> The nature of the bonding of  $\text{Li}^+$  to  $\text{H}_2\text{O}$  and  $\text{NH}_3$ ; Ab initio studies. "Chem. Phys.", 1976, 14, № 3, 461-468  
 (англ.)

(и  $\text{Li}^+$ ) IV

0658 ник

635 636 650

ВИНИТИ

BX-1035

1977

$\Delta H_f$  (Li<sub>2</sub>, LiBH<sub>4</sub>, LiBH<sub>2</sub>, LiCH<sub>3</sub>, LiNH<sub>2</sub>, LiOH,  
LiF, HBeLi, HBe<sub>2</sub>H, HBeBH<sub>2</sub>, HBeCH<sub>3</sub>, HBeCH<sub>3</sub>,  
HBeNH<sub>2</sub>, HBeOH, HBeF, Be<sub>2</sub>, BeBH, BeCH<sub>2</sub>, BeNH,  
BeO)

ref. n. ctp. (Li<sub>2</sub>H<sub>2</sub>, LiHBH<sub>2</sub>, BeH<sub>2</sub>LiH, Be<sub>2</sub>H<sub>3</sub>,  
BeM.BH<sub>2</sub>, HLiNH<sub>3</sub>, HBeHNH<sub>3</sub>, HLiOH<sub>2</sub>, HBeHOH<sub>2</sub>,  
HLiFH, HBeHFH)

Pill J. D., Schleyer P. v R., Binkley J. S.,

Popple J. A., J. Amer. Chem. Soc., 1972,

99, N 19, 6159- (6173 (aum))

PKIPOS, 1978, 3D 112,

10, M

$\text{Li}(\text{H}_2\text{O})$  ommeu 5954 1974

$\text{Li}(\text{H}_2\text{O})_2$  Hauge R.-H.,  
et al.

U. K. Crump Intern. Conf. et,  
Buerger Matrix. Isolat.  
Spectrosc.

West-Berlin, 21-24 June 1974

$\text{LiOH}_3$

1974

ommisch 5880

Wasserstoff  
D.L. Eifgen  
III, E;

Dill J.D., et al.

J.Amer. Chem. Soc.,  
1977, 99, 6159-73.

$\text{Li}^+ - \text{H}_2\text{O}$

announced 5124

1977

$\text{Li}^+ - \text{NH}_3$

87: 59206w An ab-initio SCF study of the binding of lithium(+) to bases. Hinton, J. F.; Beeler, A.; Harpool, D.; Briggs, R. W.; Pullman, A. (Dep. Chem., Univ. Arkansas, Fayetteville, Ark.). *Chem. Phys. Lett.* 1977, 47(3), 411-15 (Eng). The binding energies of the  $\text{Li}^+$  ion to 22 mols. (e.g.,  $N,N$ -diethylacetamide,  $\text{HCONH}_2$ ,  $\text{Me}_2\text{CO}$ ,  $\text{EtOAc}$ ,  $\text{H}_2\text{O}$ ,  $\text{MeOH}$ ,  $\text{Et}_2\text{O}$ ,  $\text{NH}_3$ ,  $\text{MeCN}$ , pyridine) with basic functional groups were calcd. by using ab-initio SCF techniques. The bases studied represent a no. of different types of functional groups. The calcd. binding energies compare favorably with the available gas-phase affinities. A comparison of the binding energies with Gutman donor numbers shows partial, but no general correlation. A possible explanation is proposed.

Dcbegs,  
Kb. rec'd.  
packed

C.I.J. 1977. 87 n 8

H<sub>2</sub>O...Li      (annex 6506a)      1977.

Cust. note.  
gegrap. K.O.S.  
(H<sub>2</sub>O)  
Sadley, Y., et al

Faraday Discuss.  
Chem. Soc. 1977 n<sup>o</sup> 64,  
112 - 119. Discuss. 120 - 143.

(act. H<sub>2</sub>O; i<sub>g</sub>)

1978



Kb. seek.  
paeter  
enfysur.  
Zur. abg's.

(42) 

88: 177476c Floating spherical Gaussian orbital study of lithium cation interaction with water, ammonia and nitrogen. Bhargava, Shobha; Mehandru, S. P.; Rastogi, R. C.; Ray, N. K. (Dep. Chem., Univ. Delhi, Delhi, India). *Indian J. Chem., Sect. A* 1978, 16A(2), 156-7 (Eng). Floating spherical Gaussian orbital (FSGO) model was used to study the equil. geometries and electronic structures of  $\text{LiH}_2\text{O}^+$ ,  $\text{LiNH}_3^+$ , and  $\text{LiN}_2^+$ . The FSGO model predicts reasonable electronic and geometric structures of these systems with localized orbitals without the use of any arbitrary or semiempirical parameters. For  $\text{LiN}_2^+$  the perpendicular complex is predicted to be more stable than the linear one. The predicted binding energies for Li-O bond (in  $\text{LiH}_2\text{O}^+$ ) and Li-N bond (in  $\text{LiNH}_3^+$ ) are in good agreement with other theor. ests.

C.A. 1978, 88, N24

Li-H<sub>2</sub>O

7948

88: 97083g Matrix isolation IR and EPR studies of reaction intermediates: lithium atom reactions with water, methanol, and ammonia. Hauge, R. H.; Meier, P. F.; Margrave, J. L. (Dep. Chem., Rice Univ., Houston, Tex.). *Ber. Bunsenges. Phys. Chem.* 1978, 82(1), 102-3 (Eng). Matrix isolation IR and EPR studies are reported for Li-water, -diwater, and -NH<sub>3</sub> complexes. The monowater and NH<sub>3</sub> complexes show 2 matrix sites. When Li complexes with H<sub>2</sub>O, a shift in the bending mode was obsd. There is a strong correlation between the H<sub>2</sub>O bending mode and the percent change in the nuclear hyperfine const. In Li-H<sub>2</sub>O complexes, a small H nuclear hyperfine splitting was obsd. The intensity patterns indicate the 2 hydrogens in the mono-water and the 4 hydrogens in the di-water complex are equiv.

U.K. cellulose  
L. H. Hauge

C.A. 1978, 88, N14

$H_2O \dots Li$

2 Б214. Спектроскопические параметры взаимодействующих систем. I. Исследование изменений интенсивностей колебательных полос из-за ион-молекулярных взаимодействий неэмпирическими методами. Система  $H_2O \dots Li^+$ . Sadlej Joanna, Sadlej A. J. Spectroscopic parameters of interacting systems I. Ab initio study of vibrational intensity changes due to ion-molecule interaction.  $H_2O \dots Li^+$ . «Acta phys. pol.», 1978, A 53, № 5, 747—759 (англ.)

Интенсивность  
колебательных  
полос.

Рассмотрен вопрос о влиянии ион-молекул взаимодействий на интенсивности полос ИК-поглощения и КР  $H_2O$  для системы  $H_2O \dots Li^+$ . Численные оценки проводились неэмпирич. методом с учетом влияния электрич. поля на орбитали гауссовского типа, определяющие поляризуемость молекулы  $H_2O$ . Показано, что взаимодействие с ионом  $Li^+$  приводит к увеличению интенсивности ИК-полосы вал. кол. OH, и слабо оказывается на интенсивности полосы деф. колебания. В спектре КР интенсивности обеих полос уменьшаются. Полученные данные могут быть использованы при интерпретации спектров электролитов. Однако отмечается, что отдельить влияние катионов от влияния анионов в большинстве случаев не удается, а суммарный эффект влияния ионов оказывается небольшим. А. В. Бобров

21.1929

№ 2

Окончен 6.12.3

H<sub>2</sub>O...Li

Permuted 6423

1978

89: 50905g Spectroscopic parameters of interacting systems.  
I. Ab initio study of vibrational intensity changes due to  
ion-molecule interaction. Water...lithium(+). Sadlej,  
Joanna; Sadlej, A. J. (Fac. Chem., Warsaw Univ., Warsaw,  
Pol.). *Acta Phys. Pol. A* 1978, A53(5), 747-59 (Eng).  
The vibrational intensity changes due to H<sub>2</sub>O...Li<sup>+</sup> interaction  
are studied for both the IR and the Raman bands of sym. modes  
of the water mol. The relevant dipole moment and polarizability  
derivs. with respect to the corresponding normal coordinates are  
obtained from ab initio calcns. employing the so-called elec.-field-variant (EFV) GTO's. The computed intensity ratios indicate  
a very large enhancement of the intensity of the OH stretching  
band in the IR spectrum. The IR band due to HOH bending  
vibration is affected to a lesser extent. In the Raman spectrum  
the H<sub>2</sub>O...Li<sup>+</sup> interaction leads to the intensity decrease for both  
bands. The results calcd. for the model H<sub>2</sub>O...Li<sup>+</sup> system are  
exploited for the discussion of several interpretations of the IR  
and Raman spectra of aq. electrolyte solns. Some of these  
interpretations are questioned as either too simplified or based  
on wrong assumptions.

Rb. exp.  
partei  
UK enk/

P. A. 1978 89 v6

$H_2O \ldots Li^+$

$HCN \ldots Li^+$

Кб. лек.  
рассет

☒

Х. 1949, № 9

9 Б61. Неэмпирические расчеты изменений магнитного экранирования, вызванных ион-молекулярными взаимодействиями  $Li^+$  с  $H_2O$  и  $HCN$ . Sadlej Joan na. Ab initio calculations of magnetic shielding changes due to ion-molecule interactions of  $Li^+$  with  $H_2O$  and  $HCN$ . «Pol. J. Chem.», 1978, 52, № 10, 2001—2006 (англ.; рез. польск.)

С использованием связанный хартри-фоковской теории возмущений проведены неэмпирические расчеты постоянных магнитного экранирования ядер  $^1H$ ,  $^{13}C$ ,  $^{14}N$  и  $^{17}O$  в молекулах  $H_2O$ ,  $HCN$  и модельных системах  $\underline{H_2O \ldots Li^+}$  и  $\underline{HCN \ldots Li^+}$ . Расчеты проведены при экспериментальной геометрии для  $H_2O$  и  $HCN$  и расстояниях  $R(O \ldots Li^+) = 3,57$  ат. ед.,  $R(N \ldots Li^+) = 3,70$  ат. ед. Использован базис гауссовых функций 4—31 G для  $H_2O$  и  $\underline{H_2O \ldots Li^+}$  и несколько расширенный базис для  $HCN$  и  $\underline{HCN \ldots Li^+}$ . Начало векторного потенциала выбиралось в центре зарядового распределения системы ( $A$ ), на экранируемом ядре ( $B$ ) и на соседнем ядре ( $C$ ). Для варианта А получены следующие результаты: взаимодействие катиона  $Li^+$  с  $HCN$  увеличивает экранирование ядер  $^{14}N$  на 103 млн. д. и уменьшает экранирование ядер  $^1H$  и  $^{13}C$  на 0,18 и 1,9 млн. д. соотв., взаимодействие катиона  $Li^+$  с  $H_2O$  увеличивает экранирование ядер  $^{17}O$  на 59 млн. д. и уменьшает экранирование прото-

нов на 1 млн. д. Результаты расчетов в вариантах *B* и *C* качественно не отличаются от варианта *A*, за исключением экранирования  $^{13}\text{C}$ : взаимодействие с катионом в варианте *B* увеличивает экранирование на  $\sim 6$  млн. д., а в варианте *C* — уменьшает на  $\sim 5$  млн. д. Косвенное подтверждение полученных теор. результатов при сопоставлении с эксперим. данными позволило сделать вывод, что хим. сдвиги в воде и ацетонитрильных р-рах электролитов обусловлены в основном прямыми взаимодействиями молекула—ион и могут анализироваться в рамках рассмотренной модели.

М. М. Гофман

наиб  
чет

22 Б88. Электронное строение  $\text{Li}-\text{H}_2\text{O}$  и аналогичных нейтральных молекулярных комплексов, включая  $\text{Al}-\text{H}_2\text{O}$ . Тренагу Michael, Schaefer Ненгу F. III, Kollman Peter A. Electronic structure of  $\text{Li}-\text{H}_2\text{O}$  and related neutral molecular complexes, including  $\text{Al}-\text{H}_2\text{O}$ . «J. Chem. Phys.», 1978, 68, № 9, 4047—4050 (англ.)

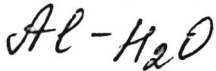
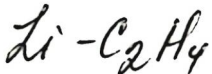
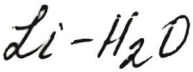
Методами ССП МО ЛКАО и конфигурац. взаимодействия (КВ) рассчитано электронное строение комплекса  $\text{Li}-\text{H}_2\text{O}$ . Расчеты проведены в базисе гауссовых орбиталей, по кач-ву превосходящем двухэкспонентный базис слейтеровских функций. Влияние корреляц. эффектов на оптимизацию геометрии и энергию диссоциации  $\text{Li}-\text{H}_2\text{O}$  на  $\text{Li}$  и  $\text{H}_2\text{O}$  исследовано методом КВ с учетом всех одно- и двухэлектронных возбуждений (3146 конфигураций). Показано, что значение равновесного межъядерного расстояния  $\text{Li}-\text{O}$  составляет  $\sim 1,893$  Å; энергия диссоциации составила 11,7 ккал/моль, причем корреляц. поправка к энергии диссоциации не превышает 1,3 ккал/моль. Методом ССП рассчитано также электронное строение комплексов  $\text{Li}-\text{C}_2\text{H}_4$  и  $\text{Al}-\text{H}_2\text{O}$ . Установлено, что для состояния  $^2\text{B}_2$  в  $\text{Al}-\text{H}_2\text{O}$  длина связи  $\text{Al}-\text{O}$  составляет 2,55 Å, а энергия диссоциации равна 4,4 ккал/моль. И. Тополь

Диссерт.  
Библиогр.  
Реферат

20

(+)

Х.1978.Н22



Электрон.  
строение

(+2)

ф. 1978 № 11

1978

11 Д253. Электронное строение  $\text{Li}-\text{H}_2\text{O}$  и родственные нейтральные молекулярные комплексы, включая  $\text{Al}-\text{H}_2\text{O}$ . Trenary Michael, Schaefer Непту F., Kollman Peter A. Electronic structure of  $\text{Li}-\text{H}_2\text{O}$  and related neutral molecular complexes, including  $\text{Al}-\text{H}_2\text{O}$ . «J. Chem. Phys.», 1978, 68, № 9, 4047—4050 (англ.)

Неэмпирическим методом ССП МО ЛКАО исследовано электронное строение  $\text{Li}-\text{H}_2\text{O}$  (I),  $\text{Li}-\text{C}_2\text{H}_4$  (II) и  $\text{Al}-\text{H}_2\text{O}$  (III) — гипотетич. комплексов нового класса, которые предположительно можно получить экспериментально с помощью скрещенных молекулярных пучков. Для I использован базис гауссовских ф-ций  $\text{Li}(9s4p1d)(10s6p2d)\text{H}/5s1p$ , сгруппированный в  $5s3p1d(5s4p2d)-3s1p$ , позволяющий получить результаты, близкие к харти-фоковскому пределу. Потенц. кривая приближения Li к  $\text{H}_2\text{O}$  вдоль оси симметрии для симметрии комплекса  $C_{2v}$  при фиксированной оптимизированной геометрии  $\text{H}_2\text{O}$  привела к расстоянию  $\text{Li}-\text{O}$  1,895 Å и энергии диссоциации на  $\text{Li}+\text{HO}$  10,4 ккал/моль, что на 1,8 ккал/моль, меньше значения, полученного в предыдущей ра-

Электронное строение

боте с несколько меньшим базисом (см. Trenagу «M., Schaefer H. F., Kollman P., «J. Amer. Chem. Soc.», 1977, 99, 3885). Учет конфигурац. взаимодействия (одно- и почти все двукратновозбужденные конфигурации) привел к значению 11,7 ккал/моль, что по оценкам автора, должно отличаться от точного значения не более чем на 1 ккал/моль. Комплекс II с расположением Li над серединой связи C=C найден несвязанным, при расчете в среднем по величине базиса, хотя, возможно, энергия диссоциации II составляет 1—2 ккал/моль; однако, вероятно, более выгодной является структура типа литий-замещенного этильного радикала. Энергия диссоциации III оценена в ~5 ккал/моль. Проведено сопоставление с данными для рассмотренных в предыдущей работе 8 других аналогичных комплексов Li и Na и предпринята попытка сформулировать ряд общих закономерностей строения комплексов рассматриваемого типа.

В. Л. Лебедев

е из  
тво

Li-H<sub>2</sub>O

(D<sub>1</sub>)

K.B. alk.  
pacclz

89: 118160t Electronic structure of lithium-water and related neutral molecular complexes, including aluminum-water. Trenary, Michael; Schaefer, Henry F., III; Kollman, Peter A. (Dep. Chem., Univ. California, Berkeley, Calif.). *J. Chem. Phys.* 1978, 68(9), 4047-50 (Eng). Ab initio mol. electronic structure theory was applied to a novel class of mol. complexes, of which the neutral Li-H<sub>2</sub>O may be considered the prototype. Near the Hartree-Fock limit Li-H<sub>2</sub>O is bound by 10.4 kcal/mol relative to sepd. Li + H<sub>2</sub>O. Electron correlation was accounted for by large configuration interaction, and this increases the predicted dissoen. energy  $D_e(\text{Li-H}_2\text{O})$  to 11.7 kcal. A no. of related mol. systems were investigated including Al-H<sub>2</sub>O, predicted to be bound by 4.4 kcal.

1978

Ann Arbor 6.5.44

C.A. 1978, 89, N14

1973

Li - OH<sub>2</sub>  
Na - OH<sub>2</sub>  
K - OH<sub>2</sub>  
Cs - OH<sub>2</sub>  
Sr - (OH<sub>2</sub>)<sub>2</sub>  
Mg - (OH)<sub>2</sub>  
Ca - (OH)<sub>2</sub>

4 Б32. Рассмотрение взаимодействия M-OH<sub>2</sub>, MOH .. OH<sub>2</sub> на основании полуэмпирических расчетов электронной структуры частично гидратированных катионов. Третьяк В. М., Барановский В. И., Сизова О. В., Кожевникова Г. В. «Ж. структур. химии», 1978, 19, № 4, 594—599

Методом ССП МО ЛКАО в приближении ППДП рассчитаны электронная структура, равновесные межъядерные расстояния и энергии диссоциации систем M H<sub>2</sub>O, MH<sub>2</sub>OH<sub>2</sub>O, M(H<sub>2</sub>O)<sub>n</sub> и M(H<sub>2</sub>O)<sub>n</sub>H<sub>2</sub>O. Исследовано влияние катионов на H-связь между молекулами воды и влияние внешней координац. сферы на прочность связей M-OH<sub>2</sub> в аквакомплексах Li<sup>+</sup>, Na<sup>+</sup>, K<sup>+</sup>, Cs<sup>+</sup>, Sr<sup>2+</sup>, Be<sup>2+</sup>, Mg<sup>2+</sup>, Ca<sup>2+</sup>, Zn<sup>2+</sup>, Al<sup>3+</sup>.

(Эд. Енгерлер; Гаспарин)

(+) ✎

20 1973 N 4

$\text{Li}^+(\text{OH}_2)_2$  | Lommel 8840 | 1979.

Beyer A., et al.

xb. rec.  
paat  
moerig.  
zeoatfus

Chem. Phys. Lett.  
1979, 67(2,3), 369-73.

$\text{Li}(\text{H}_2\text{O})^+$

аннекс 8027

1979

17 Б31. Является ли катион  $\text{Li}(\text{H}_2\text{O})^+$  плоским?  
David Carl W. Is the  $\text{Li}(\text{H}_2\text{O})^+$  cation planar? «J.  
Mol. Struct.», 1979, 53, № 1, 151—153. (англ.)

С целью разрешить противоречие между результатами квантовомех. расчетов Клементи, Годдарда и Дирксена, согласно к-рым система  $\text{Li}(\text{H}_2\text{O})^+$  является плоской, и данными поляризац. модели, предложенной автором, свидетельствующими в пользу неплоской структуры, проведены вычисления фрагментов поверхности потенциальной энергии катиона  $\text{Li}(\text{H}_2\text{O})^+$ . Использована процедура Хартри — Фока с базисным набором 6—31 ГФ с учетом и без учета поляризац. орбиталей. Полученные результаты согласуются с результатами, предсказанными поляризац. моделью. Несмотря на то, что кол-во данного расчета уступает прежним неэмпирич. подходам (в частности, Клементи) сделано заключение о возможности неплоской равновесной геометрич. конфигурации.

А. В. Немухин

2.1979.Н17

$\text{Li}(\text{H}_2\text{O})^+$

annex 8027

1979

91: 9746j Is the aqualithium(1+) cation planar? David, Carl W. (Dep. Chem., Univ. Connecticut, Storrs, CT 06268 USA). *J. Mol. Struct.* 1979, 53(1), 151-3 (Eng). Ab initio calcns. on  $\text{Li}(\text{H}_2\text{O})^+$  carried out for various geometries suggest that this mol. is not planar as proposed by several authors on the basis of quantum mech. and force-field calcns.

ref. see  
page 5

C.A. 1979, 91, N2

Li...H<sub>2</sub>O

Lommel 9438

1980

Berthod A., et al.

merus  
elephant  
Kb. ~~ice~~  
water

Chem. Phys. Lett., 1980,  
70 (3), 434 - 37

$\text{LiOH} \cdot \text{H}_2\text{O}$  [Lommel 9417]

1980

(56.)

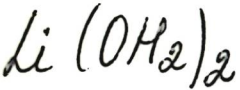
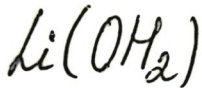
Hase Y.

Ji

U.R. Meier

Inorg. Nucl. chem. lett.,  
1980, 16, 159 - 163

1981



13 Б44. Неэмпирический расчет структуры и свойств некоторых комплексов лития с основаниями Льюиса. Bentley John, Carmichael Ian. Ab initio calculation of the structures and properties of some lithium-Lewis base complexes. «J. Phys. Chem.», 1981, 85, № 25, 3821—3826 (англ.)

Неограниченным методом Хартри — Фока с использованием базисов Попла и Даннинга рассчитаны структурные параметры и св-ва комплексов  $\text{Li}(\text{OH}_2)$ ,  $\text{Li}(\text{OH}_2)_2$ ,  $\text{Li}(\text{NH}_3)$ . Найдено, что комплексы лития с водой имеют симметрию точечной группы  $C_{2v}$ , а комплекс  $\text{LiNH}_3$  — симметрию  $C_{3v}$ . Определены равновесные межъядерные расстояния и валентные углы, а также частоты колебаний в гармонич. приближении. Для интерпретации эксперим. данных по спектроскопии ЭПР рассчитаны спиновые плотности. Рассмотрено влияние матричных эффектов на спектроскопич. св-ва комплексов, для чего проведены расчеты взаимодействия  $\text{ArLi}$  и  $\text{ArLiOH}_2$ .

Л. В. Немухин

(14)

X. 1982, 19, N/3.  $\text{Li}(\text{OH}_2)_2$ ,  $\text{Li}(\text{NH}_3)$ ,  $\text{ArLi}$ ,  $\text{ArLiOH}_2$

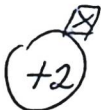
$\text{LiOH}_2$

OM 13453

1981

meopen  
pacrem

95: 209919n Ab initio calculation of the structures and properties of some lithium-Lewis base complexes. Bentley, John; Carmichael, Ian (Radiat. Lab., Univ. Notre Dame, Notre Dame, IN 46556 USA). *J. Phys. Chem.* 1981, 85(25), 3821-6 (Eng). UHF MO calcns. were conducted on the mols.  $\text{LiOH}_2$ ,  $\text{Li}(\text{OH}_2)_2$ , and  $\text{LiNH}_3$ , using 6-31G\*\*nd larger basis sets. Equil. geometries, energies, and electron spin densities were calcd. which are in good agreement with exptl. data. Harmonic vibrational frequencies are predicted for the modes involving Li. Calcns. of spin densities for the model systems ArLi and ArLiOH<sub>2</sub> provide a basis for the interpretation of matrix site effects in the ESR spectra of these complexes.



C.A. 1981, 95, N24

$\text{Li}^+(\text{H}_2\text{O})_n$  1981

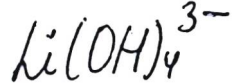
$n = 1, 2.$

Friedemann R.,  
et al.

meop.  
paereū. Zh. Strukt. Khim. 1981,  
22(2), 52-56.

(au.  $\text{Li}^+(\text{NH}_3)_n$ ;  $\text{III}$ )

1981



*Электрон.  
строение*

17

74

2 Б41. Расчет длин связей, одноэлектронных энергий и распределений электронной плотности в тетраэдрических гидрокси- и оксианионах элементов второго периода. Gupta Abha, Swanson Donald K., Tossel John A., Gibbs G. V. Calculation of bond distances, one-electron energies and electron density distributions in first-row tetrahedral hydroxy and oxy-anions. «Amer. Miner.», 1981, 66, № 5—6, 601—609 (англ.)

Методом ССП МО ЛКАО рассчитано электронное строение тетраэдрич. гидроксанионов  $X(\text{OH})_4^n$  и оксианионов элементов 2 периода ( $X=\text{Li}-\text{N}$ ). В миним. базисе ОСТ — ЗГФ рассчитаны равновесные длины связей, силовые постоянные для растяжения связей X—O и соотв-щие частоты колебаний для соединений  $\text{Li}(\text{OH})_4^{3-}$ ,  $\text{Be}(\text{OH})_4^{2-}$ ,  $\text{B}(\text{OH})_4^-$ ,  $\text{C}(\text{OH})_4^-$ ,  $\text{N}(\text{OH})_4^+$ . Теор. значения равновесных длин связей X—O с точностью менее 0,05 Å согласуются с величинами сред-

$\chi, 1982, 19AB, \text{№}$

них значений длин связей X—O в тв. телах в тех случаях, когда заряд аниона является малым. В двухэкспонентном базисе гауссовых функций при равновесной эксперим. геометрич. конфигурации анионов рассчитано электронное строение гидроксианионов и оксианионов  $\text{BeO}_4^{6-}$ ,  $\text{BO}_4^{5-}$  и  $\text{NO}_4^{3-}$ . Одноэлектронные энергии MO, полученные в этих расчетах, использованы для интерпретации рентгеновских О  $K_{\alpha}$ -спектров в BeO и валентных, рентгеноэлектронных спектров в  $\text{Na}_3\text{NO}_4$ . Также предсказан ряд спектроскопич. характеристик тетраэдрич. оксианионов B и C. С использованием рассчитанных волновых функций основного состояния молек. кластеров вычислены разностные электронные плотности. Показано, что анализ карт разностей плотности позволяет выявить ряд черт, характеризующих долю ионной и ковалентной составляющих хим. связи в исследованных соединениях.

И. А. Тополь



LiOH. H<sub>2</sub>O  
(isomer.)

ammassce 105-1  
10921

1981

94: #2845w Raman spectroscopic study of four isotopically substituted lithium hydroxide monohydrates. Hase Yoshiyuki (Inst. Quim., Univ. Estad. Campinas, 13100 Sao Paulo, Brazil). *Monatsh. Chem.* 1981, 112(1), 73-82 (Eng). Raman spectral data of polycrystals of 4 isotopically substituted Li hydroxide monohydrates, <sup>6</sup>LiOH.H<sub>2</sub>O, <sup>7</sup>LiH.H<sub>2</sub>O, <sup>6</sup>LiOD-D<sub>2</sub>O and <sup>7</sup>LiOD.D<sub>2</sub>O, were investigated in the 50-400 cm<sup>-1</sup> region. The obserd. spectra were analyzed and discussed taking into account the results of the factor group anal. and the H/D and <sup>6</sup>Li/<sup>7</sup>Li isotope effects on the fundamental wavenumbers.

Checkp  
K.P.

C.A.1981.24/12

$\text{Zn}_2(\text{OH})_2$

1981

Со-составник B.T.  
и гр.

12<sup>4</sup> зеленогор. с'єз  
п, син. точ., по одн. и присл. зел-  
кв. меч. зелен. Рег. гоку. и  
пачин. Содбез. №3. с.т., 1981, 149.

(см.  $\text{Be}_2\text{F}_4$ ; III)

$\text{Zn}_2\text{OH}^+$

1981  
Солоолеонск. В.Т.

Л. С. Смирнова. С. З. Г.  
и др. Ист. химии и физики зем-  
н. в. сел. хим. Реги. гокт. и  
пакет. Составл. Н. З. Л., 1981, 149.

(Сел. Всг. F<sub>4</sub>; III)

$\text{LiOH}_2^+$

Omnuck 14621

1981

ab initio  
pacrem,  
zeoremp;  
empyknipa,  
Apt, Do

Tamassy-Lentei I.,  
Szanziklo g.,  
Acta phys. Acad. sci.  
hung., 1981, 51, N 1-2,  
101-107.

A-OH<sub>2</sub>

1982

' 96: 187609c Ab initio studies of donor-acceptor complexes between water and various atoms. Bentley, John (Radiat. Lab., Univ. Notre Dame, Notre Dame, IN 46556 USA). *J. Am. Chem. Soc.* 1982, 104(10), 2754-9 (Eng).

Single-determinant ab initio MO calcns. were carried out on the series of donor-acceptor complexes A-OH<sub>2</sub> [A = Li, Be, B, C, Na, Mg, Al] in their ground and certain excited states. Equil. A-O distances, dissociation energies, dipole moments, and some vibrational frequencies were detd. Dissociation energies are shown to correlate with electrostatic interaction energies, and A-O distances correlate with suitably defined at. radii. A model is developed that uses these correlations to predict potential-energy surfaces for members of this class of complexes. The model works best for complexes between alkali atoms and first-row Lewis bases, although it has qual. value for other systems studied as well.

(neopen  
pacrem)

④ 6 18

C.A. 1982, 96, N22

$H_2O - Li$

1982

21 Б96. Неэмпирический расчет донорно-акцепторных комплексов между водой и различными атомами. Bentley John. Ab initio studies of donor-acceptor complexes between water and various atoms. «J. Amer. Chem. Soc.», 1982, 104, № 10, 2754—2759 (англ.)

Неэмпирическим методом ССП МО ЛКАО в однодетерминантном приближении проведены расчеты основного и нек-рых возбужденных состояний комплексов  $H_2O - A$ , где  $A = Li$  ( $^2S$  или  $^2P$ ),  $Be$  ( $^1S$  или  $^3P$ ),  $B$  ( $^2P$ ),  $C$  ( $^3P$ ),  $Na$  ( $^2S$  или  $^2P$ ),  $Mg$  ( $^1S$ ),  $Al$  ( $^2P$ ). Вычислены межъядерные расстояния  $A - O$  и энергия диссоциации комплексов, степень переноса заряда с металла на атом  $O$ , дипольные моменты связей  $A - O$  и их пр-ные, а также силовые постоянные симм. вал. колебания. Результаты расчетов сопоставлены с известными эксперим. и лит. данными. Показано, что энергии диссоциации коррелируют с энергиями электростатич. взаимодействия между  $A$  и  $H_2O$ , а межъядерные расстояния — с суммой атомных радиусов донорного и акцепторного атомов комплекса. Исследованные корреляции исполь-

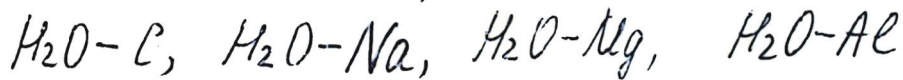
расчет  
основного и  
некоторых  
возбужденных  
составляющих

16

X. 1982, 19, № 21

$\cancel{H_2O-Li}$ ,  $H_2O-Be$ ,  $H_2O-B$

зованы для теор. построения энергетич. Пв ряда комплексов данного типа и предсказания силовых постоянных димеров  $A-OH_2$ , наблюдаемых в матрицах из инертных газов. Предложенная параметризация энергии взаимодействия наиболее пригодна для комплексов между щел. металлами и льюисовскими к-тами из атомов первого периода, хотя допускает качеств. применение и для ряда др. систем. Э. Герман



МО

$H_2O-Li^+$  1982

калийке *Борисов М. А.,  
Мурзабек Д. Т.*

пачиң *Ж. Сүрекшілд. зерттеу-  
шесі, 1982, 23, № 4,*

●  $20-24$ .

*(еес.  $H_2-Li^+$ ; ii)*

$\text{Li}_x \dots \text{OH}_2$

1982

$\text{H/Li-OH}$

UK ENERKMP t

MAMPULSE



615

97; 199553f Matrix isolation IR studies of metal atom-water reactions. Hauge, R. H.; Kaufman, J. W.; Fredin, L.; Margrave, J. L. (Chem. Dep., Rice Univ., Houston, TX 77001 USA). ACS Symp. Ser. 1982, 179(Met. Bonding Interact. High Temp. Syst. Emphasis Alkali Met.), 363-76 (Eng). Metal atom and small metal mols. of Li, Na, K, Cs, Mg, Ca, Sr, Ba, Al, Ga, In, Ti, Si, Ge, Sn, Pb, and all of the 1st row transition metals were cocondensed with  $\text{H}_2\text{O}$  in an Ar matrix. An initial  $\text{M}_{\dots}\text{OH}_2$  adduct is formed for most metals where  $x$  varies from 1 to 3. Certain metals, Al, Sc, Ti and V, reacted spontaneously with  $\text{H}_2\text{O}$  during cocondensation to form the HMOH species. The  $\text{M}_{\dots}\text{OH}_2$  adducts are characterized by a  $\Delta\nu_2$  decrease in the bending mode of  $\text{H}_2\text{O}$ . Many of the  $\text{M}_{\dots}\text{OH}_2$  adducts react further when photoexcited to form the HMOH species. The photo reactions obsd. for any one metal appear to be governed by the exothermicity of the reaction and the preference for particular valence states.

c.A.1982, 97, N 22

*Li ... OH<sub>2</sub>*

*1982*

5 Д142. Теория взаимодействий атом металла — вода и теория димеров галогенидов щелочных металлов.  
Theory of metal atom — water interactions and alkali halide dimers. Jordan Kenneth D., Kurtz Негр A. «Metal Bond. and Interact. High Temp. Syst. Emphasis Alkali Metals. Symp. 181 Meet. Amer. Chem. Soc., Atlanta, Ga, March 31 — Apr. 3, 1981». Washington, D. C., 1982, 377—393 (англ.)

Статья обзорного типа. В 1-й части обсуждены данные неэмпирич. расчетов (в том числе данные авторов) продуктов присоединения (типа M...OH<sub>2</sub>) и внедрения (типа H—M—O—H) при взаимодействии атомов Li, Be, B, Na, Mg и Al с H<sub>2</sub>O, а также предварительные данные расчетов авторов для аналогичных взаимодействий атома Al с NF, NH<sub>3</sub>, H<sub>2</sub>S и CH<sub>3</sub>OH. Приведены данные по энергиям связей, теплотам реакций, структуре соединений. Во второй части приведены аналогичные данные, полученные авторами для галогенидов щелочных металлов и их агрегатов, и детально обсуждены данные для LiF и его димера. Библ. 36.

В. Л.

*теорет.  
расчет  
структур,  
нейтр. связи,  
механизм реакций*

*H2*

*cf. 1984, 18, N5*

*Li . . . OH<sub>2</sub>*

*1982*

9 Б1064. Теория взаимодействия атома металла с водой и димеры галогенидов щелочных металлов. Theory of metal atom—water interactions and alkali halide dimers. Jordan Kenneth D., Kurtz Henry A. «Metal Bond. and Interact. High Temp. Syst. Emphasis Alkali Metals. Symp. 181st Meet. Amer. Chem. Soc., Atlanta, Ga, March 31—Apr. 3, 1981». Washington, D. C., 1982, 377—393 (англ.)

Неэмпирическим методом ССП МО ЛКАО в двухэкспонентном гауссовом базисе проведены расчеты комплексов M...OH<sub>2</sub> и гидроксигидридов HМОН, где M = =Li, Be, Na, Mg, Al и B, включающие оптимизацию геометрии. Показано, что HBeOH и HMgOH имеют линейную конфигурацию, а HAIOH и HBOH — угловую ( $LHBO \approx 120^\circ$ ). Теор. значения теплот р-ций образования HМОН из M и H<sub>2</sub>O (для M = Al и Mg) сопоставлены с эксперим. данными. Вычисленные значения  $\Delta H_{\text{обр}}$  для р-ций: Al + HF → HAIF, Al + NH<sub>3</sub> → HAINH<sub>2</sub>, Al + H<sub>2</sub>S → HAISH и Al + CH<sub>3</sub>OH → HAOCCH<sub>3</sub> монотонно возрастают от -48 для первой до -27,4 ккал/моль для

*теорет.  
расчет*

*X*

*H4*

*X. 1984, 19, N9*

последней. Дан крит. анализ теор. работ, посвященных неэмпирич. расчетам галогенидов щел. металлов, их димеров и полимеров. Особое вниманиеделено обсуждению расчетов потенциала ионизации и поляризуемости LiF и его кластеров  $(\text{LiF})_n$ .

Э. Герман

да  
опу

$\text{Li}^+ \text{H}_2\text{O}$

1982

Krecki Zbigniew.

Raman Spectrosc.:

ab initio Linear and Nonlinear.

parties Proc. 8 Int. Conf., Bordeaux

6-11 Sept., 1982, Chichester,  
E.A., 1982, 39-40.

(all  $\text{H}_2\text{O}$ ;  $\text{Li}^+$ )

$(\text{H}_2\text{D})_{\text{2di}}^+$       | DM · 16698 |      1982

ab initio  
paciem  
Kecki Z., Sadlej J.,  
et al.,  
J. Mol. Struct., 1982,  
88; Theochem. 5, N 1/2,  
71-78.

$\text{Li(OH)}_2$

1982

Lutz H.D., Eckers W.,  
et al.

J. chiol. Struct., 1982,  
80, 221-224.

(c.f.  $\text{LiOH}$ ;  $\text{II}$ )

1982



11 Д174. Трехчастичные неаддитивные эффекты для молекул воды, связанных водородной связью. Изучение методом ССП гидратированных систем, включая  $\text{H}_2\text{S}$  и различные ионы металлов. Three-body nonadditive effects for hydrogen bonded water molecules. SCF study of hydrated species including  $\text{H}_2\text{S}$  and various metal ions. Novago O. «Int. J. Quantum Chem.», 1983, 23, № 4: Proc. 4 Int. Congr. Quantum Chem., Uppsala, 13—20 June, 1982. Contrib. Pap. Pt 4, 1611—1625 (англ.)

расчет ~~старин~~

Для выяснения роли неаддитивных 3-частичных взаимодействий при сольватации ионов металлов и сероводорода в рамках метода ССП рассчитаны энергии образования систем  $\text{Li}^+(\text{H}_2\text{O})_2$ ,  $\text{Mg}^{2+}(\text{H}_2\text{O})_2$ ,  $\text{Ca}^{2+}(\text{H}_2\text{O})_2$ ,  $\text{H}_2\text{S}(\text{H}_2\text{O})$  и  $\text{H}_2\text{S}(\text{H}_2\text{O})_2$ . В случае комплексов  $\text{Li}^+$ ,  $\text{Mg}^{2+}$  и  $\text{Ca}^{2+}$  использовано приближение псевдопотенциала, расчеты комплексов  $\text{H}_2\text{S}$  проводятся с учетом всех

43

90, 1983, 18, N 11

электронов. На основе полученных результатов определены двухчастичные и трехчастичные вклады в энергию образования перечисленных комплексов. Самое сильное трехчастичное взаимодействие обнаружено для комплексов  $Mg^{2+}$ . На примере расчета с помощью аддитивной схемы энергии стабилизации комплексов  $Mg^{2+}(H_2O)_8$  и  $Mg^{2+}(H_2O)_6$  показана необходимость включения в разложения трехчастичных членов.

А. И. Дементьев

$\text{LiOH}_2^+$

Lommel 14290

1982

Rode B. M., Sagarik K.

KB. Mex. Chem. Phys. Lett.,  
pacientes 1982, 88, N3, 337-341

$\text{Li}(\text{OH}_2)^-$

$\text{Li}_2(\text{OH})^+$

$\text{Li}_2(\text{OH})_2$  B. T. Сосенкович,  
абиитио Межрегиональное МО ЛКАО  
пакет. паремы синовых нони и  
коидам. спектроп лесто-  
атомесных неоргн. соче-  
тий.



кын.

научасто 5/II-1982г.  
(в пакету)

$\text{Li}^+(\text{H}_2\text{O})_n$

1983

( $\nu_i$ )

99: 165993h Normal vibrations of hydrates of alkali metal and halide ions. Bekmuratova, E. M.; Pozharov, S. L.; Khabibullaev, P. K. (Inst. Yad. Fiz., Tashkent, USSR). *Zh. Fiz. Khim.* 1983, 57(7), 1798-800 (Russ). In the framework of an ion-cluster model, the normal vibrational frequencies were calcd. for hydrates of alkali metal and halide ions with 1-6  $\text{H}_2\text{O}$  mols. The change in entropy and enthalpy is also shown for the reaction  $\text{K}^+(\text{H}_2\text{O})_{n-1} + \text{H}_2\text{O} \rightleftharpoons \text{K}^+(\text{H}_2\text{O})_n$ .

(4) ~~✓~~

$\text{K}^+(\text{H}_2\text{O})_n$

$\text{Na}^+(\text{H}_2\text{O})_n, \text{Rb}^+(\text{H}_2\text{O})_n,$

$\text{Cs}^+(\text{H}_2\text{O})_n$

C. A. 1983, 99, N20

$\text{Li}^+ - \text{H}_2\text{O}$

1983

8 Д137. Потенциальные поверхности, построенные на основании расчетов градиентов. Новые потенциалы для систем  $\text{Li}^+/\text{H}_2\text{O}$ ,  $\text{Na}^+/\text{H}_2\text{O}$  и  $\text{K}^+/\text{H}_2\text{O}$ . Potential surfaces derived from gradient calculations New potentials for  $\text{Li}^+/\text{H}_2\text{O}$ ,  $\text{Na}^+/\text{H}_2\text{O}$  and  $\text{K}^+/\text{H}_2\text{O}$ . Bounds D. G.,  
Bounds P. J. «Mol. Phys.», 1983, 50, № 1, 25—32  
(англ.)

пометка.

пограничные

(42) ~~R~~

сб. 1984, 18, № 8

На основании результатов расчетов градиентов потенц. энергии (ПЭ) в приближении Хартри—Фока построены модельные ф-ции ПЭ систем  $M^+ - H_2O$  ( $M = Li, Na, K$ ), представляющие собой суммы атом-атомных потенциалов. Установлено, что для получения удовлетворительной аппроксимации ПЭ в предположении жесткости молекулы воды достаточно рассчитать градиенты в 6 точках поверхности, что по затратам машинного времени примерно эквивалентно вычислению ПЭ в 16 точках. Отмечено, что построение модельных ф-ций ПЭ без определения градиентов требует проведения по крайней мере вдвое большего объема вычислений.

А. В. Зайцевский

$\text{Li}^+ \text{c H}_2\text{O}$

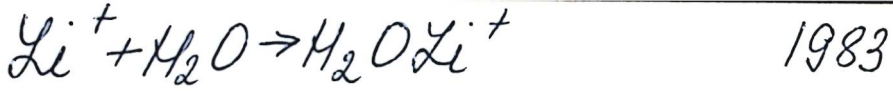
1983

Dei Bere Janet E.,  
Frisch Michael J., et al.

sacrééu  
reueéup.,  
cüpykcié.

Z. Phys. Chem., 1983, 87,  
N1, 73-78.

(see.  $\text{Li}^+ \text{c NH}_3$ ; III)



1983

Del Bere Janet E.,  
Mettee Howard D.,  
et al.

ab initio  
pacrēū

$H_{298}-H_0$ ,

Z. Phys. Chem., 1983,  
87 (17) 3279-82.

(cu.  $X + \text{H}_2\text{O} \rightarrow \text{H}_2\text{O}X; \dagger$ )

*Li(H<sub>2</sub>O)*

1983

) 19 Б1035. Исследование взаимодействия Li+H<sub>2</sub>O методом двухатомных фрагментов в молекулах. Diatomics-in-molecules studies of the Li+H<sub>2</sub>O interaction. Ljudkovski S. V., Nemukhin A. V., Stepanov N. F. «J. Mol. Struct.», 1983, 104, № 3—4, 403—409 (англ.)

Методом двухатомных фрагментов в молекулах рассчитано сечение Пв потенциальной энергии основного состояния Li(H<sub>2</sub>O), отвечающее взаимодействию атома лития с молекулой воды. Набор многоатомных базисных ф-ций составлен из функций, соотв. основным состояниям атомов и ионов Li<sup>+</sup> и O<sup>-</sup>. Нек-рые расчеты выполнены с расширенным базисом, включающим ф-ции состояния <sup>1</sup>D кислорода. Необходимые в процессе вычислений энергии состояния <sup>4</sup>P фрагмента LiO рассчитаны неэмпирически многоконфигурац. методом ССП с небольшим базисом ОСТ. Также из результатов неэмпи-

*спектр,  
структура*

X·1984, 19, n 19

рич. расчетов оценены коэф. смешивания состояний  ${}^2\Pi$  молекулы LiO. При сопоставлении результатов расчетов Li(H<sub>2</sub>O) с соотв. результатами неэмпирич. подхода сделано заключение, что метод двухатомных фрагментов в молекулах позволяет описывать системы со слабым межмолек. взаимодействием.

А. В. Немухин

*Li(H<sub>2</sub>O)*

*1983*

9 Д133. Исследования методом двухатомных фрагментов в молекулах взаимодействия Li+H<sub>2</sub>O. Diatomics-in-molecules studies of the Li+H<sub>2</sub>O interaction. Ljudkovski S. V., Nemukhin A. V., Stepanov N. F. «J. Mol. Struct.», 1983, 104, № 3—4, 403—409 (англ.)

Метод двухатомных фрагментов в молекуле применен для расчета поверхности потенц. энергии основного состояния  $^2A_1$  Li(H<sub>2</sub>O), соответствующего взаимодействию Li+H<sub>2</sub>O. Многоатомные базисные ф-ции сконструированы из ф-ций основного состояния составляющих атомов и ионов Li<sup>+</sup> и O<sup>-</sup>. На основе неэмпирич. расчетов проведено обсуждение смешивания двухатомного состояния для симметрии  $^2\Pi$  LiO. Потенц. кривая для состояния  $^4\Pi$  LiO, необходимая для процедуры расчета, вычислена с помощью неэмпирического многоконфигурационного метода ССП. Полученные результаты

*Рудольф  
Александрович  
Немухин  
Геннадий*

*сб. 1984, 18, № 9*

для  $\text{Li}(\text{H}_2\text{O})$  согласуются с экспериментальными и дру-  
гими теоретич. данными.

Н. В. В.

*Li(H<sub>2</sub>O)*

*1983*

*(meop.  
vacuum)*

, 99: 200862p Diatomics-in-molecules studies of the lithium and water interaction. Lyudkovskii, S. V.; Nemukhin, A. V.; Stepanov, N. F. (Dep. Chem., Moscow State Univ., 117234 Moscow, USSR). *THEOCHEM* 1983, 13(3-4), 403-9 (Eng). The DIM method is applied to calc. the potential energy surface of the ground  $^2A_1$  state of Li(H<sub>2</sub>O) relevant to the Li + H<sub>2</sub>O interaction. The polyat. basis functions are constructed from the ground state functions of constituent atoms and o. the ions Li<sup>+</sup> and O<sup>-</sup>. The diat. state mixing for  $^2\Pi$  symmetry of LiO is discussed on the basis of ab initio calens. The potential curve for the  $^4\Pi$  state of LiO. required for the calen. procedure, is computed by an ab initio MC-SCF method. Results of the DIM application for Li(H<sub>2</sub>O) are consistent with exptl. and other theor. data.

*C-A. 1983, 99, n24*

$\text{Li}^+(\text{H}_2\text{O})_2$

[Om. 16944]

1983

(neopen-  
paracem).

Novaro O.,

Int. J. Quant. Chem.,  
1983, XXIII, N 4, 1611-  
1628.

di H<sub>2</sub>O

(Om. 17279)

1983

employed,  
ab initio  
pacrem,  
He;

Smith S.F., Chandrasek-  
har G., et al.,

of. Phys. Chem., 1983, 87,  
N II, 1898-1902.

$\text{Li}_2(\text{OH})^+$  [om. 18437] 1983

Союзомик B.T.,

20, re;  
сн. нос.,  
ab initio  
parcim.

и. структур. химии,  
1983; 24, N 1, 29-38.

$\text{Li}(\text{OH})_2$  (dm. 18437) 1983

Соломоник В. Г.

С.Л. Н. сиңгактур. жарыс,  
Россия. 1983, 24, №1, 29-38.

(см.  $\text{Be}_2\text{F}_4$ ; III)

*dis(OH)<sub>2</sub>*

[Om. 18437]

1983

Соловорек В.Г.,

ab initio  
pacrem  
серебрян.  
полей и  
коридам.  
стеклопров

Ис. Структур. Химии,  
1983, 24, №1, 29-38.

$\text{Li}_2(\text{OH})_2$

Ом. 16427

1983

12 Б1066. Ab initio исследование геометрического строения, силовых полей и колебательных спектров молекулы  $\text{Li}_2(\text{OH})_2$  и иона  $\text{Li}_2\text{OH}^+$ . Соломоник В. Г., Погребная Т. П. «Ж. структур. химии», 1983, 24, № 1, 39—45

Методом ССП МО ЛКАО в двухэкспонентном базисе Хузинаги—Данининга  $(9s4p/4s2p)_{\text{Li}}$ ,  $(9s5p/4s2p)_o$ ,  $(5s2p/2s1p)_i$  изучены геометрич. строение, силовые поля, частоты и интенсивности в ИК-спектрах норм. кол. молекулы  $\text{Li}_2(\text{OH})_2$  и иона  $\text{Li}_2\text{OH}^+$ . Рассчитаны среднеквадратичные амплитуды колебаний пар ядер и термодинамич. ф-ции указанных соединений. Найдено, что  $\text{Li}_2(\text{OH})_2$  и  $\text{Li}_2\text{OH}^+$  имеют плоскую равновесную конфигурацию ядер симметрии  $D_{2h}$  (циклич.) и  $C_{2v}$  соответственно.

Резюме

Х. 1984, 19, N 12  
④ ⑧

$\text{Li}_2(\text{OH})_2$

dm. 16427

1983

6 Д92. Ab initio исследование геометрического строения, силовых полей и колебательных спектров молекулы  $\text{Li}_2(\text{OH})_2$  и иона  $\text{Li}_2\text{OH}^+$ . Соломоник В. Г., Погребная Т. П. «Ж. структур. химии», 1983, 24, № 1, 39—45

Методом Хартри — Фока — Рутана с использованием двухэкспонентного базиса Хузинаги — Даннинга ( $9s4p/4s2p$ ) Li, ( $9s5p/4s2p$ ) O, ( $5s2p/3s1p$ ) и изучены геометрическое строение, силовые поля, частоты и интенсивности в ИК-спектрах норм. колебаний молекулы  $\text{Li}_2(\text{OH})_2$  и иона  $\text{Li}_2\text{OH}^+$ . Рассчитаны среднеквадратичные амплитуды колебаний пар ядер и термодинамич. ф-ции указанных соединений. Найдено, что  $\text{Li}_2(\text{OH})_2$  и  $\text{Li}_2\text{OH}^+$  имеют плоскую равновесную конфигурацию ядер симметрии  $D_{2h}$  (циклическая) и  $C_{2v}$  соответственно.

Резюме

(3)

cf. 1984, 18, N6

$\text{Li}_2(\text{OH})_2$

18438

$\text{Li}_2\text{OH}^+$

(Om. 16427)

1983

98: 185954d Ab initio study of geometric structure, force constants, and vibrational spectra of lithium hydroxide ( $\text{Li}_2(\text{OH})_2$ ) molecules and lithium hydroxide ( $\text{Li}_2\text{OH}^+$ ) ion. Solomonik, V. G.; Pogrebnaya, T. P. (Ivanov. Khim.-Tekhnol. Inst., Ivanovo, USSR). *Zh. Strukt. Khim.* 1983, 24(1), 39-45 (Russ). The mol. structure, force consts., and frequencies and intensities of IR vibrations of  $\text{Li}_2(\text{OH})_2$  and  $\text{Li}_2\text{OH}^+$  were calcd. by the Hartree-Fock-Roothaan method by using double-zeta Huzinaga-Dunning basis ( $9s4p/4s2p$ ) for Li, ( $9s5p/4s2p$ ) for O, and ( $5s2p/3s1p$ ) for H. The mean square amplitudes of vibrations of nuclei pairs and the thermodyn. functions of the compds. were calcd. The  $\text{Li}_2(\text{OH})_2$  and  $\text{Li}_2\text{OH}^+$  have planar equil. configurations of nuclei with  $D_{2h}$  (cyclic) and  $C_{2v}$  symmetry, resp.

neopen.  
pacem

C.A. 1983, 98, N22.

Li-OH<sub>2</sub>

1984

LiOH<sub>2</sub>-OH<sub>2</sub>

101: 60411y Theoretical study of M-OH<sub>2</sub> and MOH<sub>2</sub>-OH<sub>2</sub> interactions based on calculations of the electronic structure of aqua complexes of metal ions. Baranovskii, V. I.; Sizova, O. V.; Tret'yak, V. M. (Leningr. Gos. Univ., Leningrad, USSR). *Zh. Obshch. Khim.* 1984, 54(3), 507-11 (Russ). The electronic structures of M<sup>n+</sup>-OH<sub>2</sub>...OH<sub>2</sub> complexes, where M<sup>n+</sup> = Li<sup>+</sup>, Na<sup>+</sup>, K<sup>+</sup>, Cu<sup>+</sup>, Ag<sup>+</sup>, Be<sup>2+</sup>, Mg<sup>2+</sup>, Ca<sup>2+</sup>, Zn<sup>2+</sup>, Pt<sup>2+</sup>, Al<sup>3+</sup>, were calcd. by the CNDO approxn. by using double-zeta contracted GTO basis sets. The effect of charge and compn. of 1st coordination sphere on the hydrogen bonds as well as on the M<sup>n+</sup>-OH<sub>2</sub> bond was analyzed.

meep. pacem

(10) ⊗

C.A. 1984, 101, N8

1984

$M^{n+} - OH_2 \dots OH_2,$

где  $M^{n+}$  — катионы  
щелочноземельных  
металлов

(4)

разает  
электрон.  
структур

☒

17 Б1055. Теоретическое исследование взаимодействий  $M-OH_2$  и  $MOH_2-OH_2$  на основании расчетов электронной структуры аквакомплексов ионов металлов.

Барановский В. И., Сизова О. В., Третьяк В. М. «Ж. общ. химии», 1984, 54, № 3, 507—511

Методом ППДП проведен расчет электронной структуры большой группы комплексов, содержащих группировку  $M^{n+}-OH_2 \dots OH_2$ , где  $M^{n+}$  — катионы щел., щел.-зем. металлов, цинка, платины и алюминия. Показано, что в системах с разным типом связи металл—вода взаимодействие аквакомплекса иона металла с внешнесферными молекулами воды через образование Н-связей приводит к одновременному усилению связей  $M^{n+}-OH_2$ ,  $OH_2 \dots OH_2$  и увеличению различий в прочностях связей во внутр. сфере комплекса.

Автореферат

Х. 1984, 19, N 17

$\text{Li}^+ \cdot \text{H}_2\text{O}$

1984

100: 74323n Cation influence on the structure and electron density of water in some  $\text{M}^{n+} \cdot \text{H}_2\text{O}$  complexes. Hermansson, Kersti; Olovsson, Ivar; Lunell, Sten (Inst. Chem., Univ. Uppsala, S-751 21 Uppsala, Swed.). *Theor. Chim. Acta* 1984, 64(4), 265-76 (Eng). The cation influence on the water mol. in the  $\text{Li}^+ \cdot \text{H}_2\text{O}$ ,  $\text{Be}^{2+} \cdot \text{H}_2\text{O}$ ,  $\text{Mg}^{2+} \cdot \text{H}_2\text{O}$ , and  $\text{Al}^{3+} \cdot \text{H}_2\text{O}$  complexes was studied by means of quantum-mech. ab-initio calcns. A no. of general trends were noted. (1) The calcd. equil. water O-H distances increase with increasing binding energies, i.e., in the order Li, Mg, Be, Al. The H-O-H angles differ by about  $\pm 1^\circ$  from the calcd. equil. angle for the free  $\text{H}_2\text{O}$  mol.; the variation has no systematic trend. (2) The electron-d. redistribution, which accompany the change in the internal  $\text{H}_2\text{O}$  geometry in these complexes, is considerably smaller than the redistribution brought about by the direct influence of the external field. (3) The harmonic O-H stretching force const. decreases with increased cation-water bonding. (4) The qual. features of the d. changes are very similar for the 4 complexes. The magnitudes of the interactions follow the order  $\text{Li} < \text{Mg} < \text{B} \lesssim \text{Al}$ . An increased polarization of the  $\text{H}_2\text{O}$  mol. occurs with electron migration from the H atoms towards the O atom and an accumulation of electron charge approx. at the center of the  $\text{M}^{n+}-\text{O}$  bond, esp. in  $\text{Be}^{2+}\text{H}_2\text{O}$  and  $\text{Al}^{3+}\text{H}_2\text{O}$ . An electron deficiency was found in the lone-pair region.

ab initio  
param.,  
empyrkrypa  
 $\text{Li}^+ \cdot \text{H}_2\text{O}$   
 $\text{H}_2\text{O}$   $\boxed{\times} +3$

C.A. 1984, 100, N 10

$(\text{LiOH})_2$

1984

Moldoscek M., Solmajer  
T.

Stepens  
guenes-  
zauw,  
ab initio.  
pacem

J. Am. Chem. Soc. 1984,  
106(6), 1854-6.

(cui.  $(\text{LiXHn})_2$ ;  $\overline{\underline{\text{II}}}$ )

$\text{Li}(\text{OH})_2^-$

[DM. 18dd6]

1984

Кудине І. С., Бурдуковський  
І. І. та груп.,

м.н.

Деконюкров. рукопись,  
N 371ХП-Д83, Черкаси,

1984.

$\text{Li}_2\text{OH}^+$

Лон. 18226

1984

Кудин Р. С., Бурдуковская  
Т. Т. и гр.

М.Н.  
Деконсеров. рукопись,  
N 371ХП-283, Черкассы,  
1984.

$\text{Li}^+ \dots \text{OH}_2$

1984

Тикурык Б. М., Сулейменко  
А. Н.

Раевский  
Сибирь  
1984, - № 4, 127-129.

(см.  $\text{Li}^+ \dots \text{FH}$ ; III)

$\text{Li}_2(\text{OH})_3^-$

[OM. 18226]

1984

$\text{Li}_3(\text{OH})_2^+$

Кудин Н.Л., Бурдуков -

$\text{Li}_3(\text{OH})_4^-$

Скач Т.Т. и др.,

$\text{Li}_4(\text{OH})_3^+$

Деникесов. рукопись,  
N 371ХП-Д83, Черкассы,

М.Н.

1984.

$H_2O \dots Li^+$

1984

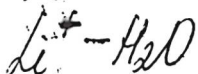
Latajka Zofia,law,  
Scheiner Steve.

volvemp., Chem. Phys. Lett.,  
січнякм., 1984, 105, N4, 435—  
—439.

(cet. H<sub>2</sub>O; NH<sub>3</sub>; III)

Коллекция

1984



20 Б1127. Квантовохимическое изучение ион-молекулярных взаимодействий. Низкочастотные колебания, геометрия, энергетика. Quantum chemical investigations on ion-molecule interactions. Low frequency vibrations, geometry & energetics. Murthy A. S. N., Ranganathan Shoba, Bhardwaj A. P. «Indian J. Pure and Appl. Phys.», 1984, 22, № 7, 393—397 (англ.)

Методом ППДП/2 рассчитаны геометрия, энергии образования и колебат. частоты (по методике масштабирования силовых постоянных, предложенной Пулом в приближении ППДП/силы) комплексов катионов металлов  $M = \text{Li}^+$ ,  $\text{Na}^+$  и  $\text{Mg}^{2+}$  с молекулами воды (I), формальдегида (II), формамида (III), аммиака (IV),  $\text{HCN}$  (V), бензола (VI). Показано, что угол МСО в комплексах  $M = \text{Na}^+$  и  $\text{Mg}^{2+}$  с II составляет 90—100°. В комплексах M с III атом металла находится ближе к атому кислорода, чем к атому азота. С IV как доно-

$\text{Li}$ ,



(17)

X. 1985, 19, № 20

ром электрона изученные катионы связываются с неподеленной парой атома азота. Равновесное расстояние между ионом и молекулами I—VI варьируется от 2,4 до 2,9 Å. Наименьшую величину оно имеет для комплексов с  $\text{Li}^+$ , наибольшую — с  $\text{Na}^+$ . Энергия взаимодействия меняется от 125 до 1858 кДж/моль, наиболее сильно катионы  $\text{Na}^+$  и  $\text{Mg}^{2+}$  взаимодействуют с VI, слабее всего с I. Электростатич. силы вносят основной вклад в энергию взаимодействия металлов с изученными молекулами. Низшие частоты, соотв. колебаниям связи между атомами металла и атомом кислорода I, возрастают в ряду комплексов  $\text{Mg}^{2+}$  с I ( $233 \text{ см}^{-1}$ ),  $\text{Na}^+$  с I ( $395 \text{ см}^{-1}$ ) и  $\text{Li}^+$  с I ( $415 \text{ см}^{-1}$ ). К. Я. Б.

Литературный

№ 20 188

1984

4 Д58. Электронная структура и свойства гидроксидов Li, Na, Be, Mg. Рамбиди Н. Г., Абашкин Ю. Г., Дементьев А. И. «Ж. неорган. химии», 1984, № 12, 3009—3013

Методом ССП рассчитаны спектроскопич. постоянные (равновесные межъядерные расстояния, силовые постоянные до квартичных включительно, частоты норм. колебаний и электрич. моменты) молекул и ионов гидроксидов Li, Be, Na и Mg. Выполнен также расчет некоторых постоянных двухатомных фрагментов, входящих в состав исследованных молекул гидроксидов, что позволило оценить качество выбранной для расчета гидроксидов базисной системы и установить ряд закономерностей изменения свойств двухатомных фрагментов при переходе от оксидов к гидроксидам. Обсуждены закономерности изменения рассчитанных свойств в ряду исследованных молекул и ионов гидроксидов.

8 (+3)

Резюме

Ф. 1985, 18, № 4.

Гидроксиды  
Li

от 20.10.1988

1984

1) 7 Б1076. Электронная структура и свойства гидроксидов Li, Na, Be, Mg. Рамбиди Н. Г., Абашкин Ю. Г., Дементьев А. И. «Ж. неорг. химии», 1984, 29, № 12, 3009—3013

Методом ССП в гауссовом базисе ( $6s1p/2s1p$ ) на H, ( $9s2p/4s2p$ ) на Li, ( $9s5p/4s2p$ ) на Be, O с учетом и без учета d-АО на O, ( $11s5p+2p/6s2p+2p$ ) на Na, Mg рассчитаны спектроскопич. постоянные (равновесные межъядерные расстояния, силовые постоянные до квартичных включительно, частоты норм. кол. и эл. моменты) молекул и ионов гидроксидов Li, Be, Na и Mg. Выполнен также расчет нек-рых постоянных двухатомных фрагментов, входящих в состав исследованных молекул гидроксидов, что позволило оценить кач-во выбранной для расчета гидроксидов базисной системы и установить ряд закономерностей изменения св-в двухатомных фрагментов при переходе от оксидов к гидроксидам. Обсуждены закономерности изменения рассчитанных св-в в ряду исследованных молекул и ионов гидроксидов.

Резюме

⊗ (73)

X.1985, 19, № 7

Гидроксиды Na  
— Be №

[O.M. 19654]

1984

$\text{Li}^+ \text{..} \text{O}\text{H}_2$

Saeer J., Hobza P.,

meop facem  
Zelený  
 $\kappa$   
Hilpert

Theor. chim. acta,  
1984, 65, N 4, 291-  
302.

AliO-

[Om. 18491]

1984

мног. парен

желтый  
цветорушка;

Vo

Энгина Т.С., Чаркик О.Н.,

дл. многолет. цветущ., 1984,  
29, № 3, 598-606.

$\text{Li}^+ - \text{H}_2\text{O}$

1985

Bocenek D. G.

racem  
enantiomeric  
1335-1355.

Mol. Phys., 1985, 54, N 6,

1335-1355.

(cfr.  $\text{Na}^+ - \text{H}_2\text{O}$ ; II)

$\text{Li}^+ \text{OH}_2$

1985

103: 200984f Considerations on the perturbation theory applied to intermolecular interactions. Cachau, R. E.; Villar, H. O.; Castro, E. A. (Inst. Invest. Fis. Teor. Apl., INIFTA, 1900 La Plata, Argent.). An. Asoc. Quim. Argent. 1985, 73(3), 261-8 (Span.). Perturbation theory is applied to intermol. reactions, mainly for medium and large sized systems. Novel methods of calcn. are suggested. These methods are suitable for cases where there is a strong electrostatic attraction. Interaction energies are calc. for the following systems:  $\text{Li}^+\text{OH}_2$ ,  $\text{Li}^+\text{NH}_3$ ,  $\text{Na}^+\text{OH}_2$ ,  $\text{Ca}^{++}\text{OH}_2$ ,  $\text{H}^+\text{NCH}_2\text{F}$ ,  $\text{H}_2\text{O}$ ,  $\text{H}_2\text{OH}_2\text{O}$ ,  $\text{H}_2\text{SH}_2\text{O}$ ,  $\text{O}_2\text{SNH}_3$ ,  $(\text{HCN})_2$ . Agreement with expt. is good except for  $(\text{HCN})_2$ .

N. Corcoran

meop. parent

prep. vial

gaussianicmbul

(f9) 18



c.A.1985, 103, N24

*Li OH<sub>2</sub>*

*1985*

*(М-Л)*

*A  
R*

*X. 1986, 19, N 23*

23 Б1133. Теоретическое исследование комплексов атомов Li и Be с H<sub>2</sub>O. Theoretical investigation of Li and Be atom complexes with H<sub>2</sub>O. Curtiss Laggy A., Pople John A. «J. Chem. Phys.», 1985, 82, № 9, 4230—4235 (англ.)

Неэмпирическим методом МО в базисе 6—311 ГФ\*\* с учетом электронной корреляции во 2-м порядке теории возмущений по Мёллеру—Плессету (МП2) найдены геометрич. параметры и частоты колебаний Li—OH<sub>2</sub> (I) и Be—OH<sub>2</sub> (II). Энергии диссоциации I и II получены в приближении МП4 с базисом, дополненным диффузными и поляризац. d- и f-функциями. Согласно расчетам, обе молекулы неплоские; равновесные расстояния металл — 0,190 и 1,736 Å, энергии диссоциации 13,8 и 5,5 ккал/моль для I и II соотв. Подчеркнута необходимость учета электронной корреляции для правильного описания св-в I и II. Обсуждены изменения параметров H<sub>2</sub>O при комплексообразовании и особенности хим. связи в I и II.

В. Г. Соломоник

H<sub>2</sub>O-Li<sup>+</sup> (OM. 22248) 1985

Zatajka Z., Scheiner S.,

ab initio  
pacrem.

Chem. Phys., 1985, 98,  
N1, 59-70.

H<sub>2</sub>O-Li

Om. 20612 1985

Б Л241. ИК-спектроскопия и фоточувствительность комплекса H<sub>2</sub>O—Li, изолированного в криptonовой матрице. IR spectroscopy and photosensitivity of the H<sub>2</sub>O—Li complex trapped in a krypton matrix. Manser L., Loutellier A., Pergaud J. P. «Chem. Phys.», 1985, 92, № 1, 75—89 (англ.)

Изучены ИК-спектры (4000—200 см<sup>-1</sup>) комплексов молекул H<sub>2</sub>O и атомов Li, изолированных в криptonовой матрице при т-ре 10—12 К. Обсуждены изменения частот колебаний комплексов при изотопич. (H/D, <sup>7</sup>Li/<sup>6</sup>Li) замещении. Установлены вариации частот колебаний матрично-изолированных комплексов при облучении матриц видимым и ИК-излучением. Предположено, что при осаждении компонент в матрицу в соотношении 1:1 образуются комплексы с переносом заряда, в которых частоты колебаний молекул H<sub>2</sub>O подобны колебаниям этих молекул в газовой фазе при сущест-

*Li, цемент, струк.*

(+) 18  
сф. 1985, 18, N5

LiOH

венном изменении интенсивности ИК-полос колебаний молекул  $\text{H}_2\text{O}$ . Облучение матрично-изолированных комплексов сопровождается образованием молекул LiOH в матрицах с частотами валентных и деформационных колебаний 900 и  $257 \text{ см}^{-1}$  соответственно. Сделан вывод, что молекулы LiOH в матрицах обладают линейной структурой. Библ. 23.

И. В. А.

(LiOH)<sub>4</sub> (OM-22614) 1985

Sapse A., Raghavachari K.,  
Schleyer P., et al.,

Meopem.  
Pacrem  
empyk-  
mypar

J. Amer. Chem. Soc., 1985,  
107, N<sup>o</sup>23, 6483-6486.

Hed-Li<sup>+</sup> (M. 24344) 1986

ab initio Falk M., Elakus H.T.,  
et al.,

facsim  
copyrig.

Spectrochim. Acta,  
1986, A42, N2-3,  
175-180.

1986

(LizOK)

Смагаев Н.Ф., Пулнин В.И.  
и др.)

Исследование структур и  
энергетики молекул.

(теор.-  
расч.) Межвузовский сборник науч-  
ных трудов Ивановского хими-  
ко-технологического института,

Иваново, 1986,

5-19. (есть в картотеке) 5-19

Li<sub>2</sub>OH

1986

106: 1648: 3a Force fields and vibration spectra of M<sub>2</sub>OII and MOH molecules (M = Li, Na) from the data of nonempirical calculations using the MO LCAO SCF method. Pogrebnaya, T. P.; Solomonik, V. G.; Vinogradova, V. N.; Godneva, M. I. (Ivanov. Khim.-Tekhnol. Inst., Ivanovo, USSR). *Teor. Eksp. Khim.* 1986, 22(6), 724-8 (Russ). Nonempirical calcns. gave the force consts. and vibrational frequencies for M<sub>2</sub>O and MOH (M = Li, Na) mols. the size of the d-basis set for the O atom affected significantly only the magnitude of the  $\omega_3$  deformation frequency. The HOMO and LUMO energies, at. charges, and bond populations are also given.

Calc. NOCM,

Di, meop-pacel

LiOH, Na<sub>2</sub>OH, NaOH

(73)



C. A. 1987, 106, N20.

$\text{Li}_2\text{OH}^{\pm}$

1987

107:121459t Binding energy in complex ions of lithium hydroxide ( $\text{Li}_2\text{OH}^{\pm}$ ). Nemukhin, A. V.; Stepanov, N. F. (Mosk. Gos. Univ., Moscow, USSR). *Zh. Strukt. Khim.* 1987, 28(1), 25-9 (Russ.). The total energies of  $(\text{Li}_2\text{OH})^+$  and  $(\text{Li}_2\text{OH})^-$  as well as their dissociation energies were calcd. by SCF and CI methods with and without consideration of electron correlation. The interaction energies of  $\text{Li}^+$  and  $\text{Li}^-$  with  $\text{LiOH}$  are very close (1.55 and 1.37 eV, resp.) and agree well with exptl. data. The structural characteristics of  $(\text{Li}_2\text{OH})^-$  are examined, explaining its rather high bound energy (1.43 eV).

(neop. panel)

C.A.1987, 107, n14

$\text{Li}_2\text{OH}^+$

1987

15 Б1034. Энергия связи в комплексных ионах  $(\text{Li}_2\text{OH})^\pm$ . Немухин А. В., Степанов Н. Ф. «Ж. структур. химии», 1987, 28, № 1, 25—29

На основании результатов неэмпирич. квантовомех. расчетов сделано заключение, что энергии взаимодействия катиона  $\text{Li}^+$  и аниона  $\text{Li}^-$  с молекулой  $\text{LiOH}$  близки (1,55 и 1,37 эВ) и хорошо согласуются с эксперим. данными. Этот результат может быть получен только с учетом корреляционных эффектов. Обсуждены особенности строения комплексного аниона  $(\text{Li}_2\text{OH})^-$ , объясняющие его довольно высокую энергию связи.

Автореферат

III. 1.

X. 1987, 19, N 15

$(\text{LiOH})_6$  (Om. 27474) 27474 1987

Raghavachari R.,  
Sapse A.-H., Jain A. C.,  
Chikkatur,  
Zoumpoulis,  
ab initio  
pacrem.

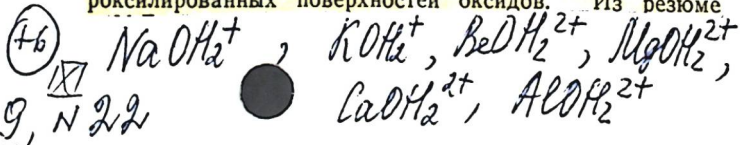
Inorg. Chem., 1987, 26,  
N 16, 2585-88.

$\text{LiOH}_2^+$

1987

22 Б1081. Относительная прочность МО- и OH-связей в аква- и гидроксокомплексах катионов I—III групп периодической системы элементов. Третьяк В. М., Щеголев Б. Ф., Игнатьев И. С., Вальский А. Р. «Пробл. соврем. химии координац. соед.» (Ленинград), 1987, № 8, 74—87

На основании неэмпирич. расчетов методом ССП равновесной геометрии и силовых постоянных моногидратов  $\text{MOH}_2^{z+}$  и моногидроксидов  $\text{MOH}^{(z-1)+}$  получены колич. х-ки изменения прочности OH-связей молекулы воды и гидроксильного аниона под влиянием катионов  $\text{Li}^+$ ,  $\text{Na}^+$ ,  $\text{K}^+$ ,  $\text{Be}^{2+}$ ,  $\text{Mg}^{2+}$ ,  $\text{Ca}^{2+}$  и  $\text{Al}^{2+}$ . Это позволяет уточнить отнесение полос в ИК-спектрах гидроксилированных поверхностей оксидов. Из резюме



X.1987, 19, N 22

1988

$\text{LiH}_2\text{O}$

$\text{Li} \cdot \text{H}_2\text{O}$

структура

(18)

X. 1988, 19, N 19

19 Б1039. Влияние заселенности  $d$ -орбиталей на геометрию координации в гидратах металлов: неэмпирические расчеты моногидратов ионов металлов с вычислением полных градиентов. Effect of  $d$ -orbital occupation on the coordination geometry of metal hydrates: full-gradient ab initio calculations on metal ion monohydrates. Davy R. D., Hall M. B. «Inorg. Chem.», 1988, 27, № 8, 1417—1421 (англ.)

В рамках неэмпирич. метода ССП и обобщенного метода валентных связей изучена молек. структура и электронное строение моногидратов ионов металлов  $\text{Li}^+$ ,  $\text{Na}^+$ ,  $\text{K}^+$ ,  $\text{Ca}^{2+}$ ,  $\text{Sc}^{3+}$ ,  $\text{Ti}^{2+}$ ,  $\text{Cr}^{2+}$ ,  $\text{Co}^+$  и  $\text{Ni}^{2+}$ , а также атома  $\text{Fe}^\circ$ . Оптимизация геометрии проведена в предположении симметрии  $C_s$  системы с вычислением полных градиентов. Построены зависимости энергии моногидратов от угла  $\theta_w$ , характеризующего отклонение иона металла от плоскости молекулы воды. Установлено, что для всех ионов минимум энергии

соответствует плоской геометрии симметрии  $C_{2v}$  ( $\theta_w = 0^\circ$ ), что обусловлено ион-дипольным и  $\sigma$ -донорно-акцепторным взаимодействиями. При уменьшении заряда иона кривая потенциальной энергии становится более пологой, а для  $Fe^{\circ}$  минимум соответствует не-плоской геометрии с  $\theta_w \sim 45^\circ$ . С использованием метода сдвига вакантных уровней изучено влияние заполнения  $d$ -орбиталей металла на геометрию координации. Показано, что заполнение  $MO$ , разрыхляющих по взаимодействию ион металла — вода, не приводит к изменению геометрии моногидратов.

Н. В. Харчевникова

*LiOH · H<sub>2</sub>O*

*(D.D. 29 454)*

*1988*

109: 20113w An ab initio study of anharmonic potential energy surfaces for bound water molecules. Hermansson, Kersti; Lindgren, Jan. (Inst. Chem., Univ. Uppsala, S-751 21 Uppsala, Swed.). *Chem. Phys. Lett.* 1988, 146(5), 459-64 (Eng). One-dimensional potential energy expansion in stretching, bending and rigid-body translational and rotational coordinates up to fourth order have been calcd. for bound H<sub>2</sub>O mols. by ab initio MO LCAO SCF methods. Water in cryst. ice and LiOH·H<sub>2</sub>O have been simulated by calcns. on (H<sub>2</sub>O)<sub>4</sub>·H<sub>2</sub>O and (Li<sup>+</sup>)<sub>2</sub>(OH<sup>-</sup>)<sub>2</sub>·H<sub>2</sub>O clusters, each surrounded by point charges. The force consts. f<sub>2</sub>, f<sub>3</sub> and f<sub>4</sub> in the potential energy expression  $V = f_2\Delta r^2 + f_3\Delta r^3 + f_4\Delta r^4$  were calcd., where  $\Delta r$  is a simultaneous stretching of the O-H bonds in the water mol. The force consts. were found to decrease linearly with the equil. O-H distance. Anharmonicity consts. were calcd. for rigid-body vibrations of H<sub>2</sub>O in LiOH·H<sub>2</sub>O and found to be 14 cm<sup>-1</sup> for the rotational vibration and less than 1 cm<sup>-1</sup> for the translational vibration.

*ab initio*

C.A. 1988, 109, N10.

$\text{Li}_2(\text{OH})_2$  1988  
Погребицк Н. Н.  
СО. Колюбакин Б. Г.  
Справление и обоз-  
римка коллекції.  
Новгород, 1988 г.  
32-44.

(вид.  $\text{Li}_2\text{O}$ ; II)

$\text{Yi}_2\text{OH}^+$

1988

Нордберг Н. Н.  
Соловьев В. Г.  
Применение и изучение  
искусств. языка, Ижевск,  
1988. С. 32-41.

н. н.

(авт.  $\text{Yi}_2\text{D}$ ; II)

$\text{Li(OH)}_2$  1988  
Норвегия Н.Н.  
Северо-Восток Б.Р.  
импровизирована  
некоторое время  
М.Н. 1988. с. Зарубино,  
1988. с. Зарубино,



(см.  $\text{Li}_2\text{O}; \text{III})$

$H^{+}, \text{HF}_2$  [om. 30303] 1988

Энергия  
свободы,  
8e

Ильдардинов Н.Б.,  
Туркестанский Университет,  
Н.С. Симбулатов. Известия,  
1988, № 29, N 4, 37 - 42.

LiaOH- (OM. 30387) 32048) 1988

голланд.,  
сур. насе.,  
Коудам.  
стекло.

Соломоновск В. Г.,  
Салычев В. В. 4' gp.  
НР. стеклозавод. осу-  
щес., 1988, 29, N5,



22-31.

$\text{Li}^+ \cdot \text{Df}_2$  (OM 31539) 1988  
Szczęśniak M.M., Scheiner S.,

meopem. Collect. Czechosl. Chem.

pacrem Commun. 1988, 58, n10,

2214-2229.

*Li<sub>2</sub>OH<sup>+</sup>*

1989

12 Б1064. К вопросу об энергиях диссоциации  $(\text{Li}_2\text{OH})^+$  / Бучаченко А. А., Немухин А. В., Степанов Н. Ф. // Ж. структур. химии. — 1989. — 30, № 6. — С. 140—143.— Рус.

Методами ССП и многоконфигурац. ССП (МК ССП) в полном активном пространстве в базисе  $(11s3p/4s1p)$  для Li  $(9s5p/3s2p)$  для O и  $(4s/2s)$  для H рассчитаны энергии диссоциации  $(\text{Li}_2\text{OH}^+ = \text{Li}^+ + \text{LiOH})$ . Корреляц. вклады от орбиталей, не вошедших в активное пространство МК ССП, учитывались по аддитивной схеме: суммировались разности полных энергий полного конфигурац. взаимодействия в активном пространстве с добавленной текстируемой орбиталью и без нее. Результаты расчета позволяют объяснить расхождение в оценках энергий диссоциации, опубликованных ранее

(До)

X. 1990, N/2

*Li<sub>2</sub>OH*

*1989*

6 Д159. К вопросу об энергиях диссоциации  $(\text{Li}_2\text{OH})^\pm$  / Бучаченко А. А., Немухин А. В., Степанов Н. Ф. // Ж. структур. химии.— 1989.— 30, № 6.— С. 140—143

Рассчитаны полные энергии, энергии корреляции и энергии диссоциации комплексных ионов  $(\text{Li}_2\text{OH})^\pm$ . В расчетах использованы 3 различных базиса. Для учета корреляц. эффектов использован метод МК ССП в варианте ПАП. Определены корреляц. вклады виртуальных МО при равновесной геометрии и на диссоциационном пределе. Показано, что энергия связи катиона в 2 раза превышает энергию связи аниона.

*D.*

*cb, 1990, № 6*

$\text{Li}_2\text{OH}$

$\text{Li}_2\text{OH}^+$

1989

112: 125616t On the dissociation energies of lithium hydroxide ions ( $(\text{Li}_2\text{OH})^\pm$ ). Buchachenko, A. A.; Nemukhin, A. V.; Stepanov, N. F. (Nauchno-Issled. Fiz.-Khim. Inst. im. Karpova, Moscow, USSR). *Zh. Strukt. Khim.* 1989, 30(6), 140-3 (Russ). The total and dissoci. energies for  $\text{Li}_2\text{OH}^+$  and  $\text{Li}_2\text{OH}^-$  were obtained in CAS-SCF calcns. Different approxns. are used for obtaining the equil. geometries and the correlation energies of the ions. The contributions of different MO's were studied.

pacem do

c.a. 1990, 112, N 14

$\text{Li}^+ \cdot \text{H}_2\text{O}$  | Dm. 32422 |

1989

Бутырская Е.В., Манош-  
ников В.А.,

Оптика и спектроскопия,  
1989, №7, N1, 42-46.

D<sub>OH</sub>

$\text{Li}^+ - \text{H}_2\text{O}$

1989

γ-6 Б1446. Потенциал валентных колебаний гидратированного иона  $M^+-\text{H}_2\text{O}$  ( $M^+=\text{Li}^+, \text{Na}^+, \text{K}^+$ ) / Бутырская Е. В., Шапошник В. А. // Оптика и спектроскопия. — 1989. — 67, № 4. — С. 800—804. — Рус.

Исследованы вал. ( $M^+-\text{O}$  и  $\text{O}-\text{H}$ ) кол. гидратированного иона  $M^+-\text{H}_2\text{O}$  ( $M^+=\text{Li}^+, \text{Na}^+, \text{K}^+$ ). Потенциал каждого симм. нормального колебания ( $M^+-\text{O}$  и  $\text{O}-\text{H}$ ) выбран в виде потенциала Морзе, потенциал асимм.  $\text{O}-\text{H}$  колебания — в виде  $u(x_3) = D_3 (1 - e^{-\alpha_3^2 x_3^2})$ . а потенциал их взаимодействия — в виде полинома. Для решения колебат. ур-ния Шредингера применен вариационно-итерац. подход и получено аналитич. выражение энергетич. колебат. спектра. Полученное выражение для энергии использовано при расчете параметров потенциала.  
Резюме

М.Н.

☒ (72)

ж. 1990, № 6

$\text{Na}^+ - \bullet \text{H}_2\text{O}, \text{K}^+ - \text{H}_2\text{O}$

$\text{Li}^+ - \text{H}_2\text{O}$

1989

2 Д95. Потенциал валентных колебаний гидратированного иона  $\text{M}^+-\text{H}_2\text{O}$  ( $\text{M}^+=\text{Li}^+, \text{Na}^+, \text{K}^+$ ) / Бутырская Е. В., Шапошник В. А. / Оптика и спектроскопия.— 1989.— 67, № 4.— С. 800—804

Исследованы валентные ( $\text{M}^+-\text{O}$  и  $\text{O}-\text{H}$ ) колебания гидратированного иона  $\text{M}^+-\text{H}_2\text{O}$  ( $\text{M}^+=\text{Li}^+, \text{Na}^+, \text{K}^+$ ). Потенциал каждого симметричного норм. колебания ( $\text{M}^+-\text{O}$  и  $\text{O}-\text{H}$ ) выбран в виде потенциала Морзе, потенциал асимметричного  $\text{O}-\text{H}$  колебания — в виде

$$u(x_3) = D_3 \left( 1 - e^{-\alpha_3^2 x_3^2} \right),$$

а потенциал их взаимодействия — в виде полинома. Для решения колебательного ур-ния Шрёдингера применен вариационно-итерационный подход и получено аналитич. выражение колебательного энергетич. спектра. Полученное выражение для энергии использовано при расчете параметров потенциала.

Резюме

оп. 1990, № 2

(т2)

$\text{Na}^+-\text{H}_2\text{O}, \text{K}^+-\text{H}_2\text{O}$

$\text{LiOH}_2^+$

[OM. 31585]

1989

алея  
расчетн.  
номенк.  
ноберх.

Туркменск. ф. ф., 310-  
й км А.С., Чаркчи о.т.,

№. Морган. Реквизит,  
1989; 34, №5, 1091-1095.

$\text{Li}(\text{OH})_n$   
 $\text{Li}(\text{OH})_{n+1}$   
( $n=1-3$ )

1990

- ЗД69. Неэмпирическое исследование закономерностей в строении и колебательных спектрах молекул  $\text{M}(\text{OH})_n$  и ионов  $\text{M}(\text{OH})_{n+1}^-$  гидроксидов элементов второго и третьего периодов / Погребная Т. П., Соломоник В. Г. // Молекул. структура.— Иваново, 1990.— С. 59—71

- В приближении ССП МО ЛКАО с использованием однотипных базисов проведены неэмпирические расчеты геометрических параметров, энергетической стабильности, силовых постоянных и частот нормальных колебаний для молекул и ионов гидроксидов  $\text{M}(\text{OH})_n$  и  $\text{M}(\text{OH})_{n+1}^-$  ( $\text{M}=\text{Li}, \text{Be}, \text{B}, \text{Na}, \text{Mg}, \text{Al}; n=1-3$ ). Расчеты выполнены по программам MOLECULE и GAUSSIAN-80 на ЭВМ EC-1050.

ан. расчет  
частоты  
норм. колеб.  
расчет (5) 18  
сф. 1991, № 3

O<sub>2</sub>LiH<sub>2</sub> 1991  
Nicolaides Cleantzes

A., Valtatzenos Petros.

M. n. Chem. Phys. Lett. 1991.

176, N<sub>2</sub>. C. 239 - 241.

(c.f. OBeH<sub>2</sub>; III)

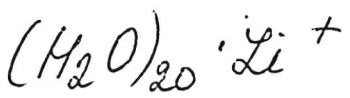
LizDR+

OM-36614

1991

Tamásy - Lenter, Szanisz-  
lo J.;  
ab initio  
paesi

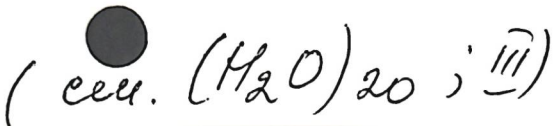
Acta Phys. et Chim.  
Debrec. 1991, 27, 61-65.



1992

Cioslowski J., Narayakka-  
ra A.

meop. Int. J. Mod. Phys. B 1992,  
pacrem 6 (23-24), 3687-93.



$\text{Li}^+(\text{diazO})\bar{n}$  1993

$n \leq 10$

Brechignac C., Cathuzac P.,  
et al.

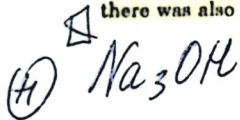
(D<sub>0</sub>) J. Chem. Phys. 1993, 99(9),  
6848-55.

(all.  $\text{Li}_{2n+p}\text{O}\bar{n}^+$ ;  I)

$\text{Li}_3\text{OH}$

1993

120: 227568m Ab initio theoretical calculation to study the formations, stable structures, and energies of  $\text{Li}_3\text{OH}$  and  $\text{Na}_3\text{OH}$  molecules. Sheu, Ming Jyh; Ho, Jia Jen (Dep. Chem., Natl. Taiwan Norm. Univ., Taipei, Taiwan). *Huaxue* 1993, 51(1), 1-10 (Ch). A theor. study was made of the formation of the  $\text{Li}_3\text{OH}$  mol. in the collision of  $\text{Li}_2$  with  $\text{LiOH}$ . The assocn. reaction energy for this process is -49.92 kcal/mol. There are two stable structures ( $\text{C}_{2v}$  and  $\text{C}_{3v}$ ) for the  $\text{Li}_3\text{OH}$  mol.; the  $\text{C}_{2v}$  structure was calcd. to be lower in energy. The difference between them is very small. The energy barrier for interconversion between these two structures was calcd. to be 9.89 kcal/mol; the transition state was also detd. A similar process was studied for formation of the  $\text{Na}_3\text{OH}$  mol. The results showed that for  $\text{Na}_3\text{OH}$  the  $\text{C}_{3v}$  structure was lower in energy; there was also an energy barrier for the conversion to  $\text{C}_{2v}$ .



C.A. 1994, 120, n18

$\text{Li}^+ (\text{H}_2\text{O})_n$

OAI 37590

1994

meop - facem  
cmykrypt,  
Hemuu ebuei

SHD

C.A., 1994, 120,  
N22

120: 280773a An extended basis set ab initio study of  $\text{Li}^+(\text{H}_2\text{O})_n$ ,  $n = 1-6$ . Feller, David; Glendening, Eric D.; Kendall, Rick A.; Peterson, Kirk A. (Mol. Sci. Res. Cent., Pacific Northwest Lab., Richland, WA 99352 USA). *J. Chem. Phys.* 1994, 100(7), 4981-97 (Eng). The structures, binding energies, and enthalpies of small mol. clusters incorporating a single lithium cation and up through six water mols. were detd. in calcns. with extended Gaussian basis sets by using Hartree-Fock and post-Hartree-Fock methods. The resulting properties were analyzed with respect to both basis-set completeness and degree of correlation recovery, including core-core and core-valence effects. Although the lithium-water interaction is largely electrostatic in nature, small basis sets, lacking in polarization and near-valence diffuse functions, drastically overestd. the strength of the bond (by 20 kcal/mol or more), and underestd. the  $\text{Li}^+\cdots\text{O}$  distance by up to 0.1 Å. Their poor performance was attributable to inherent errors in describing the elec. moments and polarizability of water and to large basis-set-superposition errors. Thus, the accuracy with which the fundamental lithium-water interaction could be modeled was primarily dependent on the quality of the Gaussian basis set and not upon the level of correlation recovery. Basis-set enlargement and correlation effects both tended to reduce the strength of the  $\text{Li}^+(\text{H}_2\text{O})$  bond, but produced corrections of opposite sign for the  $\text{Li}^+\cdots\text{O}$  bond length. Although correlation effects played a minor role in describing the lithium-water interaction, as the size of the cluster increased and the no. of waters involved in multiple hydrogen bonds grew, correlation recovery became significant.

$\text{Li}(\text{OH})_{K+1}$

1994

Sliznev V.V.,  
Pogrebnyaya T.P. et al.

$\text{Z}_0$ , meop.  
pácrém Koord. Khim. 1994,  
20.(8-9), 641-7.

(c.u.  $\text{ZiCl}_{K+1}; \underline{\text{III}}$ ).

(Om. 38133)

1995



(n=1-4)

Marek J. Wójcik,  
Gilbert J. Mains et al.,

JIntern. J. Quantum Chem.,  
1995, 53, 49-56.

Theoretical study of

$[Li(H_2O)_n]^+$  and  $[K(H_2O)_n]^+$  ( $n =$   
 $= 1-4$ ) complexes.

$\text{Li}^+ - \text{H}_2\text{O}$

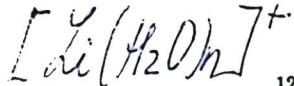
1995

122: 274561e A systematic model potential for  $\text{Li}^+ - \text{H}_2\text{O}$ . Wheatley, Richard J.; Hutson, Jeremy M. (Department Chemistry, University Durham, Durham, UK DH1 3LE). *Mol. Phys.* 1995, 84(5), 879-98 (Eng). A new model potential is constructed for  $\text{Li}^+ - \text{H}_2\text{O}$ , based largely on ab initio calcns. of the monomer wavefunctions. The electrostatic energy is calcd. using distributed multipoles, the induction and dispersion energies are calcd. using damped multipole series, and the repulsion energy is assumed to be proportional to the charge d. overlap integral. The model potential has a shallower well than most previous potentials; the smaller well depth is in agreement with new high-level supermol. ab initio calcns. Spectroscopic data for  $\text{Li}^+ - \text{H}_2\text{O}$  are not yet available, but will provide a rigorous test of the potential, so bound-state calcns. of intermol. vibration-rotation energy levels are performed in this work. The fundamental vibrational wave-nos. are found to be  $357 \text{ cm}^{-1}$ ,  $538 \text{ cm}^{-1}$  and  $532 \text{ cm}^{-1}$  for the out-of-plane bend, in-plane bend and intermol. stretch vibrations, resp.

$\text{Li}^+$ , Meop.  
PAULIN

C.A. 1995, 122, N 22

1995



$$n = 1 \div 4$$

(ref. therein)

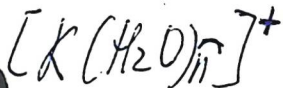
empykenya,

Kemal Cebeci,

Di, Kemal Cebeci.

lik cremte ⑦ 18

122: 197574g Theoretical study of  $[\text{Li}(\text{H}_2\text{O})_n]^+$  and  $[\text{K}(\text{H}_2\text{O})_n]^+$  ( $n = 1-4$ ) complexes. Wojcik, Marek J.; Mains, Gilbert J.; Devlin, J. Paul (Faculty of Chemistry, Jagiellonian University, 30-060 Ingardena, Pol.). *Int. J. Quantum Chem.* 1995, 53(1), 49-56 (Eng). The geometries, successive binding energies, vibrational frequencies, and IR intensities are calcd. for the  $[\text{Li}(\text{H}_2\text{O})_n]^+$  and  $[\text{K}(\text{H}_2\text{O})_n]^+$  ( $n = 1-4$ ) complexes. The basis sets used are 6-31G\* and LANL1DZ (Los Alamos ECP+DZ) at the SCF and MP2 levels. There is an agreement for calcd. structures and frequencies between the MP2/6-31G\* and MP2/LANL1DZ basis sets, which indicates that the latter can be used for calcns. of water complexes with heavier ions. Our results are in a reasonable agreement with available exptl. data and facilitate exptl. study of these complexes.



C. A. 1995, 122, N16

1996

Li(H<sub>2</sub>O)<sub>n</sub>

$$n = 1 \div 6$$

✓ 129: 166412t Theoretical study of hydration cluster of Li atom.  
Kamimoto, Tetsuya; Hashimoto, Kenro (Computer Center, Tokyo  
Metropolitan University, Tokyo, Japan 192-03). *Front. Sci. Ser.* 1996,  
16(Structures and Dynamics of Clusters), 563-572 (Eng), Universal  
Academy Press, Inc.. The structures and ionization potentials of Li-  
(H<sub>2</sub>O)<sub>n</sub> (n = 1-6) clusters have been studied by ab initio MO method.  
The interior structure where Li atom is surrounded by four H<sub>2</sub>O mols.  
in the primary shell and more in the secondary shell is found to be the  
stable structure for n ≥ 4. The vertical ionization potentials (IPs) as  
functions of n decrease successively until n = 4 and become nearly const.  
for n ≥ 4. In addn., the IPs for n ≥ 4 are close to the bulk limit of the  
vertical detachment energies of (H<sub>2</sub>O)<sub>n</sub><sup>-</sup>. The SOMO electron d. of n ≥  
4 clusters extends on and between hydrating H<sub>2</sub>O mols. and become  
localized in the surface region of the clusters.

CRYSTALL  
y, ab ini  
to place

CA 1998, 129, N 13



1996

$$x=1-4$$

) 15 Б182. Неэмпирическое исследование гидратации иона лития. An ab initio investigation of lithium ion hydration / Pye Cory C., Rudolph Wolfram, Poirier Raymond A. // J. Phys. Chem. — 1996. — 100, № 2. — С. 601—605. — Англ. . Место хранения ГПНТБ

Неэмпирическим методом ССП в базисах от миним. до 6-311ГФ\* с учетом поправки на суперпозицию базиса рассчитаны равновесная геометрия, колебательные частоты и энергетич. характеристики кластеров  $\text{Li}(\text{H}_2\text{O})_x^+$ ,  $x=1-4$ . Обнаружено, что базис 6-31+ГФ\* приводит к очень хорошим энергиям связи, а частота симметричного вал. кол. для  $x=4$  согласуется с эксперим. значением даже в базисе 6-31ГФ\*. Рассмотрены также системы с включением 4 и 8 молекул воды во вторую координационную сферу. Библ. 50.

В. Л.

равнвесн.  
геометр.  
колебат.  
частоты  
жестк. харак

X. N 15, 1996.

$\text{Li}(\text{H}_2\text{O})_n^+$

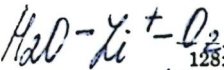
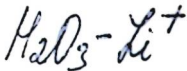
$n \leq 4$

1996

124: 38157y An ab Initio Investigation of Lithium Ion Hydration. Pye, Cory C.; Rudolph, Wolfram; Poirier, Raymond A. (Department of Chemistry, Memorial University of Newfoundland, St. John's, NF Can. A1B 3X7). *J. Phys. Chem.* 1996, 100(2), 601-5 (Eng). The structures, frequencies, and interaction energies of small lithium-water clusters,  $\text{Li}(\text{H}_2\text{O})_n^+$ ,  $n = 1-4$ , were calcd. by ab initio Hartree-Fock theory with small- and medium-sized basis sets (STO-3G, 3-21G, 6-31G\*, 6-31G\*\*, 6-31+G\*, 6-31+G\*(5d), 6-311G\*). The interaction energies were cor. for basis set superposition error (BSSE) by Mayer's CHA/CE formalism. The CHA/CE/6-31+G\*/HF/6-31+G\* level gives an excellent description of the binding energy. The geometry and sym. stretch frequency for  $\text{Li}(\text{H}_2\text{O})_4^+$  of  $248 \text{ cm}^{-1}$  ( $255 \text{ cm}^{-1}$  expt.) are well described at the HF/6-31G\* level. The choice of partition of the supermol. was demonstrated to be of minor importance ( $\pm 4 \text{ kJ/mol}$ ). The binding energies were rationalized on crowding around the ion and a weakening Li-O interaction. The first ab initio calcn. (STO-3G, 3-21G, 6-31G\*, 6-31+G\*) of a full second-solvation sphere of a metal cation is presented ( $[\text{Li}(\text{H}_2\text{O})_4^+](\text{H}_2\text{O})_n$ ,  $n = 4, 8$ ). The second solvation sphere of four water raises the frequency of the Li-O vibration by  $18 \text{ cm}^{-1}$  (7%).

ab initio  
pacem  
cmykpfk,  
Pi, Gnafouth.

C. A. 1996, 124, N4



100%

128: 66681r Proton and Li<sup>+</sup> Cation Interactions with H<sub>2</sub>O<sub>3</sub> and H<sub>2</sub>O/O<sub>2</sub>: Ab Initio Molecular Orbital Study. Fujii, Toshihiro; Yashiro, Miyoko; Tokiwa, Hiroaki (National Institute for Environmental Studies, Tsukuba, Japan 305). *J. Am. Chem. Soc.* 1997, 119(50), 12280–12284 (Eng), American Chemical Society. Ab initio MO calcns. at the QCISD(FULL)/DZ+P level of theory were carried out on the hydrogen trioxides H<sub>2</sub>O<sub>3</sub> and H<sub>2</sub>O/O<sub>2</sub> (O<sub>2</sub> is  ${}^3\Sigma_g^-$ ) and their Li<sup>+</sup> ion and proton adducts to det. the binding energies (Li<sup>+</sup> affinity and proton affinity) for H<sub>2</sub>O<sub>3</sub>-Li<sup>+</sup> and H<sub>2</sub>O-Li<sup>+</sup>-O<sub>2</sub>. Calcns. include the thermochem. at 298 K and enthalpy corrections for comparison with exptl. values. The prediction for the binding energy of Li<sup>+</sup> to H<sub>2</sub>O<sub>3</sub> is 33.0 kcal/mol, which closely resembles that between Li<sup>+</sup> and homologous mols. of water and H<sub>2</sub>O<sub>2</sub>. In the case of the H<sub>2</sub>O-Li<sup>+</sup>-O<sub>2</sub> system, the process may be that a primary product of H<sub>2</sub>OLi<sup>+</sup> would then bind to oxygen (or O<sub>2</sub>Li<sup>+</sup> to water). Binding energies of H<sub>2</sub>OLi<sup>+</sup> or Li<sup>+</sup> to O<sub>2</sub> are 8.6 or 5.2 kcal/mol, resp., which are smaller than those required for adduct formation under conventional exptl. conditions. The overall results suggest the validity of the authors' recent exptl. detections of Li<sup>+</sup> ion attachment to hydrogen trioxide. But the detection of the H<sub>2</sub>O-Li<sup>+</sup>-O<sub>2</sub> complex may not be possible.

ab initio  
nuclear  
Heppell  
et al.

C.A. 1998,  
128, N6

$[Li(H_2O)_n]^+$  1997

$n=1-3$

Hashimoto, Kenro; et al.,

ab initio  
racem  
cmbykya,  
cmazekhi.  
Chem. Phys. Lett. 1997,  
266(1,2), 7-15.

(all.  $[Na \bullet (H_2O)_n]^+ ; \underline{\text{III}}$ )

*Li<sub>4</sub>OH*

*1997*

**24Б196.** Неэмпирический расчет структуры и энергетических характеристик изомеров  $\text{Li}_4\text{OH}$ ,  $\text{Li}_3\text{NaOH}$  и  $\text{Li}_2\text{Na}_2\text{OH}$ . Ab initio calculations on the structures and energetics of  $\text{Li}_4\text{OH}$ ,  $\text{Li}_3\text{NaOH}$ , and  $\text{Li}_2\text{Na}_2\text{OH}$  isomers / Lee Chou-Lin, Sheu Ming-Jyh, Shie Yi-Shiau, Wu Deng-Hwa, Ho Jia-Jen // J. Phys. Chem. A [J. Phys. Chem.] — 1997. — 101, № 19. — С. 3607–3612.— Англ. Место хранения ГПНТБ России

Неэмпирическими методами ХФ, МП2 и МП4 с использованием базисов 6-31 $\text{G}\Phi^*$  и 6-31+ $\text{G}\Phi^{**}$  исследованы  $\text{Li}_4\text{OH}$  (I),  $\text{Li}_3\text{NaOH}$  (II) и  $\text{Li}_2\text{Na}_2\text{OH}$  (III). Для комплексов I и II определены по пять равновесных структур, для III идентифицировано семь минимумов. Во всех трех системах глобальному минимуму отвечает структура симметрии  $C_{2v}$  с трехцентровым скелетом и мостиковым атомом водорода Li—H—Li. Показано, что все возможные пути диссоциации для I–III являются эндотермическими.

A. C.

*X. 1997, № 24*

$\text{Li}^+ - \text{OH}_2$

1997

Helped  
check,  
MacCarty

126: 122730d Collision-Induced Dissociation Measurements on  $\text{Li}^+(\text{H}_2\text{O})_n$ ,  $n = 1-6$ : The First Direct Measurement of the  $\text{Li}^+-\text{OH}_2$  Bond Energy. Rodgers, M. T.; Armentrout, P. B. (Department of Chemistry, University of Utah, Salt Lake City, UT 84112 USA). *J. Phys. Chem. A* 1997, 101(7), 1238-1249 (Eng), American Chemical Society. Collision-induced dissociation of  $\text{Li}^+(\text{H}_2\text{O})_n$ ,  $n = 1-6$ , with xenon (and with argon for  $n = 1$ ) is studied as a function of kinetic energy using guided ion beam mass spectrometry. In all cases, the primary and lowest energy dissociation channel observed is endothermic loss of one water mol. The cross section thresholds are interpreted to yield 0 and 298 K bond energies after accounting for the effects of multiple ion-mol. collisions, internal energy of the complexes, and dissociation lifetimes. The experimental bond energies determined here are in good agreement with previous experimental (high-pressure mass spectrometric, HPMS, measurements) and theoretical results for all complexes. In the case of  $\text{Li}^+(\text{H}_2\text{O})$ , the value determined here is actually the first direct measurement of the bond energy. This value lies somewhat below the value reported in the HPMS study which was extrapolated from data for larger clusters. Because the HPMS value has been used extensively to establish an absolute  $\text{Li}^+$  affinity scale, this discrepancy is discussed in some detail.

C.A. 1997, 126, N9

$\text{Li}(\text{H}_2\text{O})_n$

1998

$n = 1 \text{--} 6, 8$

128: 299882x Theoretical Study of Microscopic Solvation of Lithium in Water Clusters: Neutral and Cationic  $\text{Li}(\text{H}_2\text{O})_n$  ( $n = 1\text{--}6$  and 8). Hashimoto, Kenro; Kamimoto, Tetsuya (Computer Center, Tokyo Metropolitan University, Tokyo, Japan 192-03). *J. Am. Chem. Soc.* 1998, 120(15), 3560-3570 (Eng), American Chemical Society. The structure, stability, and electronic state of  $\text{Li}(\text{H}_2\text{O})_n$  ( $n = 1\text{--}6$  and 8) clusters have been investigated by an ab initio MO method, including electron correlation, and compared with those of their cations. The interior structure where the Li atom is surrounded by four  $\text{H}_2\text{O}$  mols. in the first shell and more in the second shell is found to be the most stable for both neutral and cationic  $n \geq 4$  clusters. The size dependence of the vertical ionization potentials of  $\text{Li}(\text{H}_2\text{O})_n$  is in good agreement with the recent expt. It decreases successively until  $n = 4$  and becomes nearly const. for  $n \geq 4$  being close to the bulk limit of vertical detachment energies of  $(\text{H}_2\text{O})_n^-$ . The excess electron is sep'd. from Li and distributed outside the first-shell cavity in  $n \geq 4$  clusters. The electronic state of the clusters changes from a one-center at. state for  $n \leq 3$  to a two-center ionic state for  $n \geq 4$  with a gradual localization of the excess electron. Dangling hydrogens interacting with the excess electron play a role as actuators of the surface state.

C.A. 1998, 128, N24

Knidmiller

O<sup>-</sup> · LiH

1998

O<sup>-</sup> · XH<sub>n</sub>?  
X = Li, Be, B,  
C, N, R, F

ab initio

THEOCHEM  
complexes  
Ch. Abstrakt

(f6)<sup>1</sup>  
C. A. 1999, 130, n 10

130: 130188f Structures and stabilities of complexes between the atomic oxygen radical anion and hydrides of the first period. Knak Jensen, S. J.; Csizmadia, I. G. (Dep. Chem., Aarhus Univ., Aarhus, DK-8000 Den.). THEOCHEM 1998, 455(1), 69-76 (Eng), Elsevier Science B.V.. Quantum mech. ab initio calcns. have been used to det. stable complexes formed between the at. oxygen radical anion, O<sup>-</sup>, and the first period hydrides, XH<sub>n</sub> = LiH, BeH<sub>2</sub>, BH<sub>3</sub>, CH<sub>4</sub>, NH<sub>3</sub>, H<sub>2</sub>O, and HF. The calcns. were performed using second-order Moeller-Plesset approxns. with basis sets incorporating polarization and diffuse functions. In all, 29 stable complexes have been identified. The structures of these complexes suggest they should be grouped into six families which may be described in a compact way as: (O<sup>-</sup>, XH<sub>n-1</sub>), (HO<sup>-</sup>, XH<sub>n-2</sub>), (HOXH<sub>n-1</sub>)<sup>-</sup>, (H<sub>2</sub>, OXH<sub>n-2</sub>)<sup>-</sup>, (OXH<sub>n</sub>)<sup>-</sup>, and (H<sub>2</sub>O, XH<sub>n-2</sub>)<sup>-</sup>. The stability of the complexes, as measured by the change in std. free energy for the reaction XH<sub>n</sub> + O<sup>-</sup> → complex, is for all families a smooth function of the at. no. of X.

[H<sub>2</sub>O LiH]<sub>2</sub>

4-1998

129: 250423e Dihydrogen Bonding in Main Group Elements: An ab Initio Study. Kulkarni, Sudhir A. (Department of Chemistry, University of Pune, Pune, 411 007 India). *J. Phys. Chem. A* 1998, 102(39), 7704–7711 (Eng), American Chemical Society. The occurrence of dihydrogen bonds in the complexes and dimers of complexes involving the main group elements is systematically investigated. The complexes of LiH, BH<sub>3</sub>, and AlH<sub>3</sub> with HF, H<sub>2</sub>O, and NH<sub>3</sub> as well as dimers of these complexes are studied using ab initio calcns. at the MP2 level. The complexes having H-H bonding are obsd.; however, in most of the cases they are not min. on their PES. The [H<sub>2</sub>OLiH]<sub>2</sub> has a compact C<sub>2h</sub> structure with a large dimerization energy where the H-H bond exhibits features of a hydrogen bridge. The H-H bond energy in [BH<sub>3</sub>HF]<sub>2</sub>, [BH<sub>3</sub>H<sub>2</sub>O]<sub>2</sub>, and [AlH<sub>3</sub>H<sub>2</sub>O]<sub>2</sub> is analogous to the conventional moderate or weak hydrogen bond. The bonding features of these complexes and their dimers are analyzed using electron d. topog. The structures of dimers are rationalized using mol. electrostatic potential maps. The decompn. anal. of interaction energies of dimers reveals the predominance of electrostatic contribution followed by charge transfer and polarization.

CMP-PA  
Hemal Gulati.  
Hemal Cheti.

ab initio  
PAWAN

(73) 8

C.A. 1998, 129, N 19

K. V. K. K. G.

J.A. 1998, 128, N<sup>o</sup>3 1998

H<sub>2</sub>O·Li<sup>+</sup>

cmp-pa  
pay cm as.

(11)

128: 286590a Structure and gas phase stability of complexes L...M, where M = Li<sup>+</sup>, Na<sup>+</sup>, and Mg<sup>2+</sup>, and L = H<sub>2</sub>O, H<sub>2</sub>S, SiH<sub>2</sub>, NH<sub>3</sub>, and their methyl derivatives. Remko, Milan; Sarissky, Marek (Department of Pharmaceutical Chemistry, Comenius University, Bratislava, Slovakia SK-832 32). *Chem. Phys. Lett.* 1998, 282(3,4), 227-232 (Eng), Elsevier Science B.V.. Ab initio MO calcns. at the G2 (Gaussian-2) level of theory have been performed in order to det. the structures and gas phase energies of complexes formed by the Lewis bases NH<sub>3</sub>, H<sub>2</sub>O, H<sub>2</sub>S, SiH<sub>2</sub>, and their Me derivs. with the cations Li<sup>+</sup>, Na<sup>+</sup>, and Mg<sup>2+</sup>. Calcd. interaction energies vary as Mg<sup>2+</sup> >> Li<sup>+</sup> > Na<sup>+</sup>. The relative basicities of the bases studied depend on both the substituent and the character of cation. The gas-phase interaction energies computed by the G2, G2(MP2), and G1 (Gaussian-1) methods were comparable in accuracy. The binding energies computed by these three methods reach the targeted "chem." accuracy.

NH<sub>3</sub>·Li<sup>+</sup>, NH<sub>3</sub>Na<sup>+</sup>  
NH<sub>3</sub>·Mg<sup>2+</sup>

H<sub>2</sub>O·Na<sup>+</sup>, H<sub>2</sub>O·Mg<sup>2+</sup>

H<sub>2</sub>S·Mg<sup>2+</sup>, SiH<sub>2</sub>·Li<sup>+</sup>, SiH<sub>2</sub>·Na<sup>+</sup>, SiH<sub>2</sub>·Mg<sup>2+</sup>.

$\text{Li}^+ - \text{OH}_2$

(MI-40603)

2000

Ahmed M. El-Nahas<sup>†</sup>  
and Kunihiro Hirao,

J. Phys. Chem. 2000,  
AlO<sub>4</sub>, N1, 138-144.

Complexation of  $\text{Li}^+$  and  
 $\text{Cu}^+$  with  $\text{HX}$  (X = F, Cl, OH)

$\text{SH}$ ,  $\text{NH}_2$  and  $\text{PH}_2$ ) Molecules  
by  $B^3LYP$  and CCSD(T)  
Methods.

$\text{Li}^+ - \text{FLX}$

(ON. 40603)

2000

Ahmed M. El-Nahas<sup>†</sup>  
and Kunihiko Kizao,

J. Phys. Chem. 2000,  
A104, N1, 138 - 144.

Complexation of  $\text{Li}^+$  and  
 $\text{Cu}^+$  with FLX (X=F, Cl, OH)

$\text{SH}$ ,  $\text{NH}_2$  and  $\text{OH}_2$ ) molecules  
by  $B^3h\text{VP}$  and  $\text{CCSD(T)}$   
methods

F:  $\text{Lin}(\text{OH})_{n-1}$

P: 3

133:271948 Ionization energies of hyperlithiated and electronically segregated isomers of  $\text{Lin}(\text{OH})_{n-1}$  ( $n=2-5$ ) clusters. Tanaka, Hiromasa; Yokoyama, Keiichi; Kudo, Hiroshi Department of Materials Science, Japan Atomic Energy Research Institute Tokai-mura, Ibaraki 319-1195, Japan J. Chem. Phys., 113(5), 1821-1830 (English) 2000. D. functional theory (DFT) calcns. at the Becke three parameter hybrid functional with the Lee-Yang-Parr nonlocal correlation functional (B3LYP)/6-311+G(d,p) level are performed to study the stability and structures of lithium-excess lithium hydroxide clusters  $\text{Lin}(\text{OH})_{n-1}$  ( $n=2-5$ ). These small clusters are stable toward the dissociation to liberate one lithium atom and each of the clusters has structural isomers differing in the stability. The result of calcns. implies that the most stable isomer of the

2000

clusters with n=2 and 3 have a "hyperlithiated" electronic structure, in which the excess electron fully delocalizes over all of the lithium atoms in the cluster, while the most stable isomer of the clusters with n=4 and 5 in which the excess electron localizes on a specific site has a "segregated" electronic structure composed of the metallic and ionic parts.

Vertical ionization energies of the isomers of these clusters calcd. by ab initio MO theory at the coupled cluster singles and doubles calcn. including a perturbational est. of the triples excitations [CCSD(T)] and second-order perturbation theory Moller-Plesset (MP2)/6-311+G(d,p) levels depend on the structure; e.g., around 5 eV for the planar isomers, approx. 4.2 eV for the "Li-tail" isomers with one terminal lithium atom, and 3.5 eV or less for the other isomers. The structure dependence of ionization energies reflects a feature of the singly occupied MO (SOMO) which accommodates the excess electron.

$\text{Li}(\text{H}_2\text{O})_n$

2000

133: 9329m Electron-hydrogen bonds and OH harmonic frequency shifts in water cluster complexes with a group 1 metal atom,  $\text{M}(\text{H}_2\text{O})_n$  ( $\text{M}=\text{Li}$  and  $\text{Na}$ ). Tsurusawa, Takeshi; Iwata, Suehiro

(Institute for Molecular Science, Okazaki, Aichi, Japan 444-8585). *J. Chem. Phys.* 2000, 112(13), 5705-5710 (Eng), American Institute of Physics. The harmonic vibrational frequencies for  $\text{M}(\text{H}_2\text{O})_n$  ( $\text{M}=\text{Li}$  and  $\text{Na}$ ) are calcd. with ab initio MO (MO) methods. Three types of isomers, surface, quasivalence and semi-internal, exhibit the characteristic frequency shifts  $\Delta\nu_{\text{OH}}$ . The calcd. spectral patterns are related to the geometric conformations around the localized electron {e} in the cluster. The downward shifts of OH frequencies are strongly correlated with the lengthening of OH bond distances, as is well known in the hydrogen bonds. The magnitude of the downward shift is as large as that for the

$\text{Li}, \text{neop.}$   
 $\text{nacdem}$ )



C.A. 2000, 133, N

hydrogen bond. The correlation of the shifts with the distance between the center of the electron {e} and the hydrogen atom reveals two types of interaction schemes. The characteristics of the structural unit OH- $\{e\}$ HO in  $M(H_2O)_n$  and its OH modes are common with those found in water anion clusters. The interaction between the localized electron and OH bonds can be called an electron-hydrogen bond.

QM 40779

2001

F: Lin(OH) $n$ -1

P: 3

134:287321 Structure and energetics of Lin(OH) $n$ -1( $n=2-5$ ) clusters deduced from photoionization efficiency curves. Tanaka, Hiromasa; Yokoyama, Keiichi; Kudo, Hiroshi. Department of Materials Science, Japan Atomic Energy Research Institute, Tokai-mura, Ibaraki, Japan. J. Chem. Phys. (2001), 114(1), 152-159. in English.

Ionization efficiency curves (IECs) were measured for Lin(OH) $n$ -1 ( $n = 2-5$ ) clusters generated by reactions of laser-ablated Li metal with H<sub>2</sub>O vapor, using photoionization time-of-flight mass spectrometry. The measured IECs are well-reproduced with a simulation involving Franck-Condon factors, enabling to identify the global-min. structure of the clusters predicted in the

authors' theor. study [Tanaka [et al.], J. Chem. Phys. 113, 1821(2000)]. Hyperlithiated structures (HLS), in which an excess electron is delocalized, are identified for the cluster with  $n = 2$  and 3, while electron-localized or segregated structure (ELS) are for those with  $n = 3\text{--}5$ . Adiabatic ionization energies were detd. as  $4.053 \pm 0.003$  eV for HLS of  $\text{Li}_2\text{OH}$ ,  $3.687 \pm 0.003$  eV for HLS of  $\text{Li}_3(\text{OH})_2$ ,  $4.133 \pm 0.003$  eV for ELS of  $\text{Li}_3(\text{OH})_2$ , and  $3.418 \pm 0.009$  eV for ELS of  $\text{Li}_4(\text{OH})_3$ . The ionization energy of  $\text{Li}_5(\text{OH})_4$  was detd. as  $3.60 \pm 0.11$  eV by a linear extrapolation of IEC. For  $\text{Li}_3(\text{OH})_2$ , the energetics of two lowest-energy isomers is discussed based on the obsd. abundance ratio.